



数字信号处理

Digital Signal Processing

第 7 章 多抽样率数字信号处理

第7章 多抽样率数字信号处理

7.1 概述

7.2 以整数因子D抽取

7.3 以整数因子I内插

7.4 以有理因子I/D转换抽样频率

7.5 多抽样率系统的高效实现

7.6* 数字滤波器组

7.7* 多抽样率数字信号处理中的应用

7.1 概述

◆前面所讨论的信号处理的各種方法都把采样频率 F_s 视为固定值，即在一个数字系统中只有一个采样频率

-----单抽样率数字信号处理系统

◆实际系统中，经常要求能对采样率进行转换，即要求一个数字系统能工作在多采样率状态。这样的系统称为多采样率信号处理系统。例如：数字电视系统中我们需要同时对语音、视频、图像采用不同频率进行处理，数字通信中的码率变换（通信带宽）等-----多抽样率数字信号处理系统

◆建立在采样率转换基础上的“多抽样率数字信号处理系统”已成为数字信号处理学科的主要内容之一，在语音信号处理、图像处理、通信系统等领域有着广泛的应用。

在信号处理的很多应用中，需要用到变换数字信号采样频率的问题。原因：

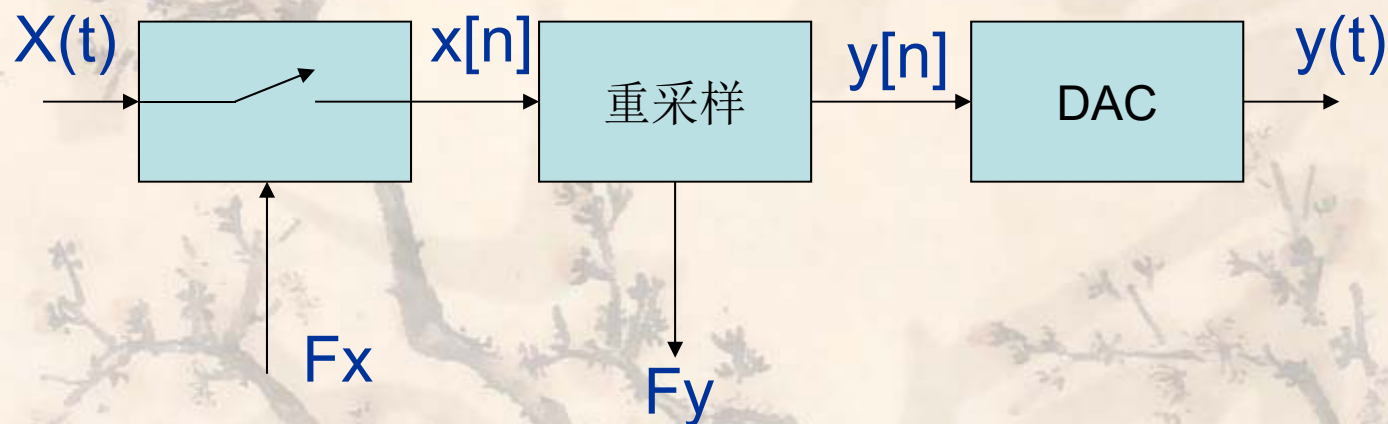
A：应用中需要混合不同标准的信号。

例不同音频信号的采样率：

CD播放器	数字音频磁带	数字广播
44.1KHZ	48KHZ	32KHZ

B：新技术的需要。 例信号的采样频率相对带宽很大情形。

信号处理过程可视为在两个数字序列时间的线性处理：需要重采样的输入序列 $x[n]$ 和 $y[n]$, 他们的采样速率分别为 F_x 和 F_y , 如下图所示：



$F_x > F_y$, 下采样

$F_x < F_y$, 上采样

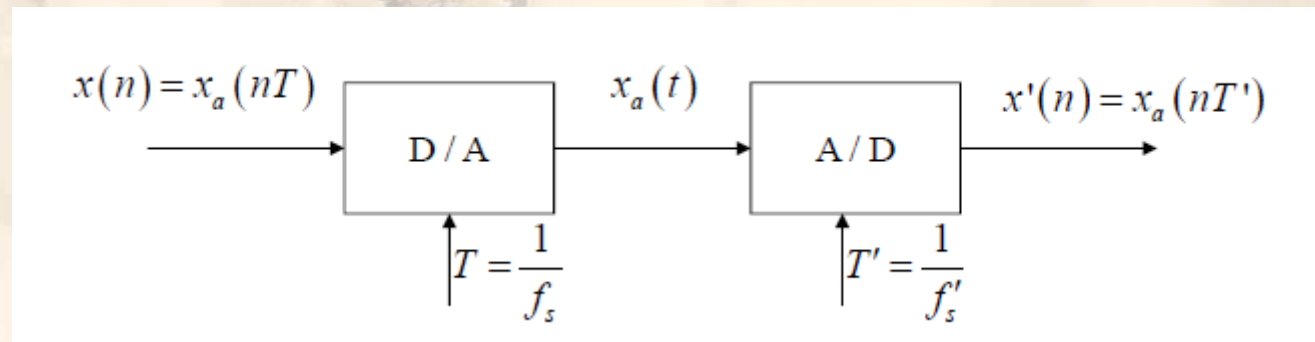
7.1 概述

■ 实现抽样率转换的方法：

- 模拟域方法
- 数字域方法

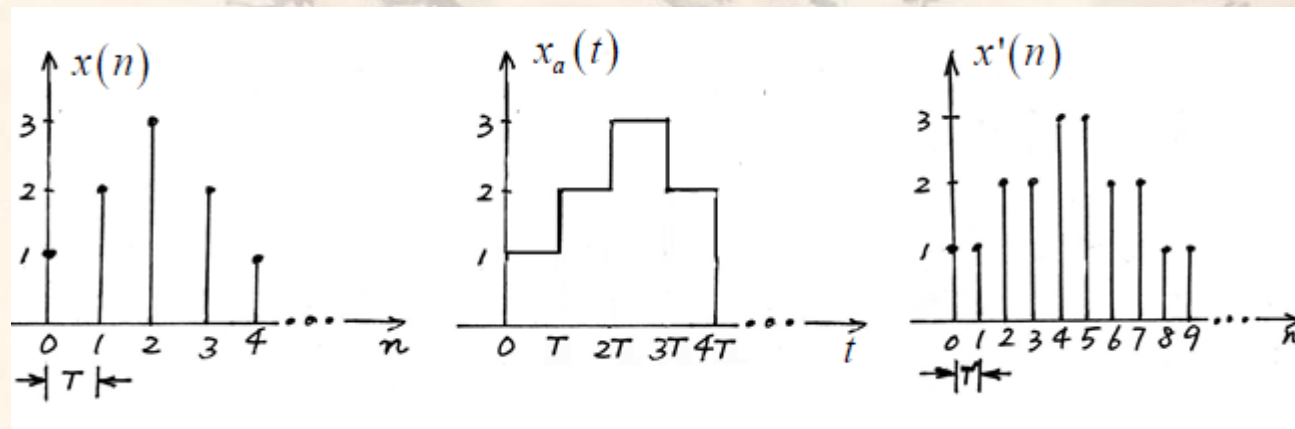
优点：可以实现抽样率的任意转换

缺点：信号重构误差、量化噪声



例：抽样率升高2倍

$$T' = \frac{T}{2}$$



$$x'(n) = \begin{cases} x(\frac{n}{2}), & \text{even} \\ x(\frac{n-1}{2}), & \text{odd} \end{cases}$$

7.1 概述

■ 数字域方法

- **内插(Interpolation)**：采样率由**低到高**，也称为**上采样(Up-Sampling)**——是增加数据的过程。
- **抽取 (Decimation)**：采样率由**高到低**，也称为**下采样(Down-Sampling)**——是去掉过多数据的过程。
- **抽取、内插及其二者相结合的使用便可实现信号取样率的转换。**

7.1 概述

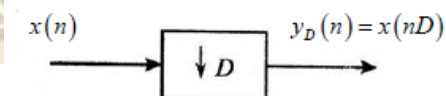
采样率转换通常分为：抽取和内插

采样率转换类型：

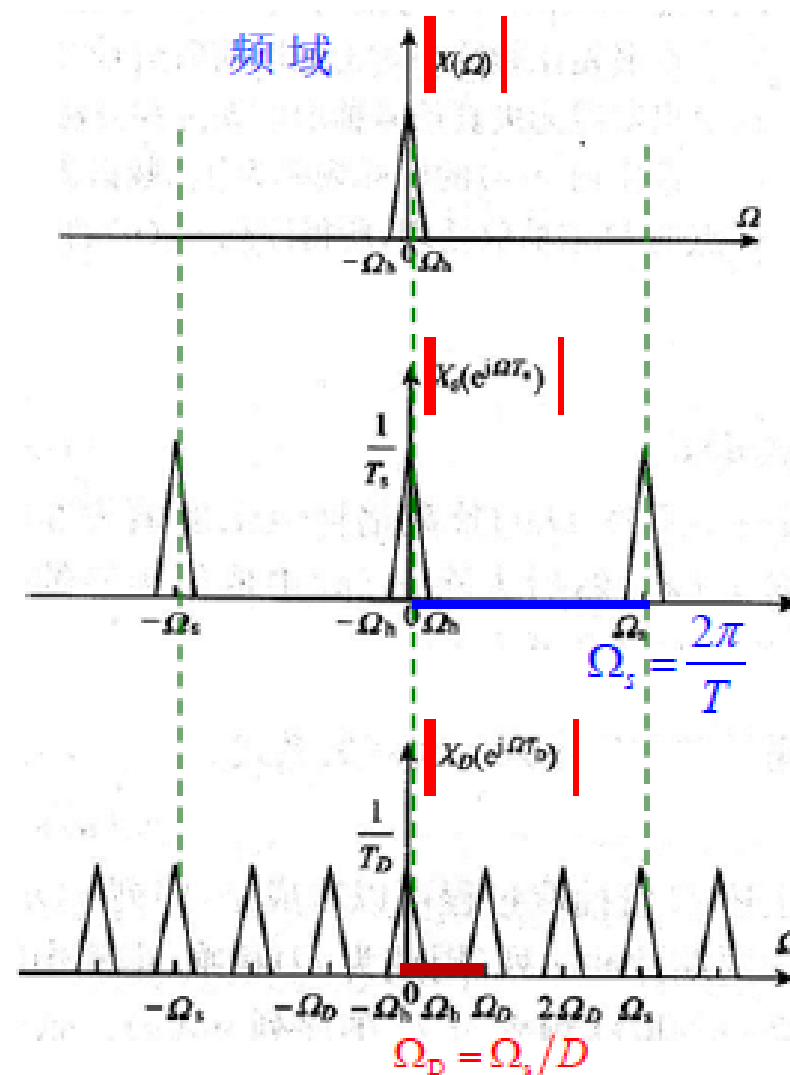
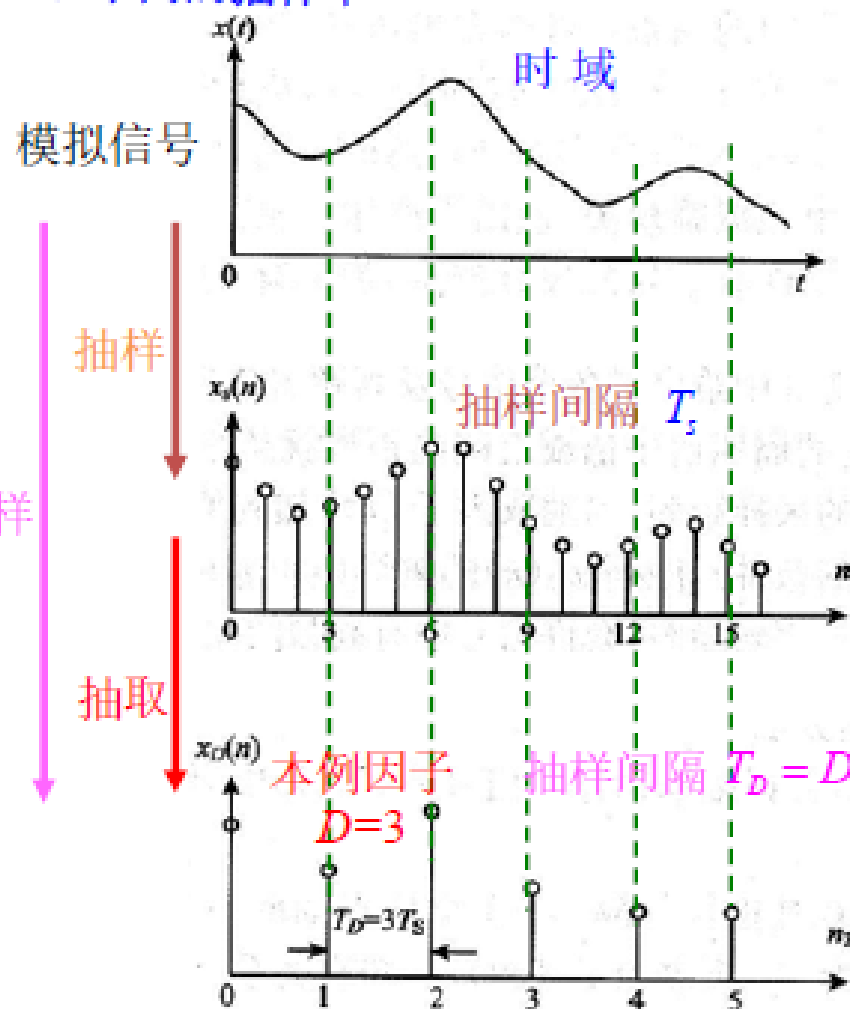
- (1) 整数因子抽取 (7.2)
- (2) 整数因子内插 (7.3)
- (3) 有理数因子采样率转换 (7.4)
- (4) 多抽样率的高效实现 (7.5)

7.2 以整数因子D抽取

$$x_a(nT_x) \quad y_D(nT_y) = x_a(nDT_x) \quad (7.5)$$



1、不同的抽样率

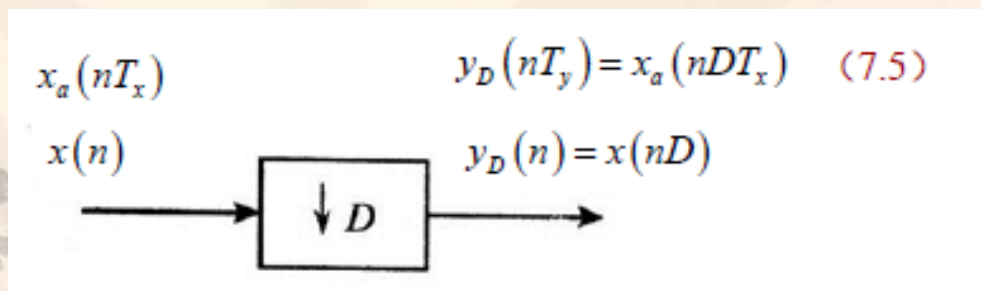


D 大可能造成频域混叠！

(频率轴成比例地缩放)

7.2 以整数因子D抽取

2. 抽样率变换



抽样间隔 T_x

$$T_y = DT_x$$

抽样间隔增加到 D 倍

抽样频率 $\frac{1}{T_x}$

$$\frac{1}{T_y} = \frac{1}{DT_x}$$

抽样率下降到 $1/D$

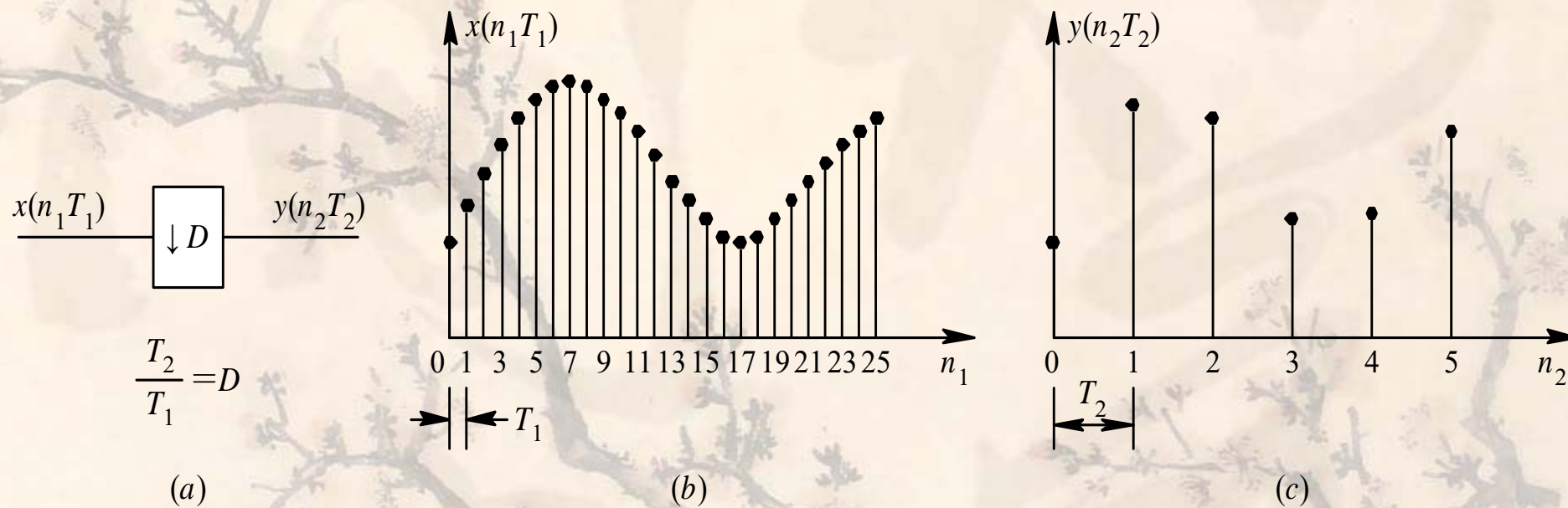
数字角频率

$$\begin{aligned} \omega_x &= \Omega T_x \\ &= 2\pi f T_x \end{aligned}$$

$$\begin{aligned} \omega_y &= \Omega T_y \\ &= \Omega DT_x \\ &= D\omega_x \end{aligned}$$

频率轴成比例地缩放

7.2 以整数因子D抽取



数字信号的抽取

7.2 以整数因子D抽取

❖ 2. 抽样前后频谱关系

$$X_s(e^{j\omega}) = X_s(e^{j\Omega T_s}) = \frac{1}{T_s} \sum_{n=-\infty}^{\infty} X(\Omega - n\Omega_s) = \frac{1}{T_s} \sum_{n=-\infty}^{\infty} X\left(\frac{\omega - 2\pi n}{T_s}\right)$$

其中

$$\Omega_s = \frac{2\pi}{T_s}, \quad \omega = \Omega T_s$$

$$\begin{aligned} X_D(e^{j\omega}) &= X_D(e^{j\Omega T_D}) = \frac{1}{T_D} \sum_{n=-\infty}^{\infty} X(\Omega - n\Omega_D) = \frac{1}{DT_s} \sum_{n=-\infty}^{\infty} X\left(\Omega - \frac{1}{D}n\Omega_s\right) \\ &= \frac{1}{DT_s} \sum_{n=-\infty}^{\infty} X\left(\frac{\omega - 2\pi n}{DT_s}\right) \end{aligned}$$

其中 $\Omega_D = \frac{2\pi}{T_D} = \frac{2\pi}{DT_s} = \frac{\Omega_s}{D}, \quad \omega = \Omega T_D = \Omega DT_s$

7.2 以整数因子D抽取

❖ 3.抽取过程和数学表达

每**D**个抽样，保留第**1**个，丢弃后**D-1**个。

等效为两步：

$$x'(n) = \begin{cases} x(n), n = 0, \pm D, \pm 2D, \dots \\ 0, & \text{otherwise} \end{cases}$$

每**D**个抽样，
保留第**1**个，后**D-1**个置零。

$$= x(n) \sum_{m=-\infty}^{\infty} \delta(n - mD) \quad (\text{first step})$$

抽样间隔仍为 T_x

$$y_D(n) = x'(Dn) = x(Dn) \quad (\text{second step})$$

稀疏的序列（去除零点）
抽样间隔为 $T_y = DT_x$

例： $D=3$ ，则

$$y_D(0) = x(0)$$

$$y_D(1) = x(3)$$

$$y_D(2) = x(6)$$

...

7.2 以整数因子D抽取

❖ 4、抽取前后的频谱

抽取前 $x(n)$
的频谱 $X(e^{j\omega_x})$

抽取后 $y_D(n)$ 的频谱

傅里叶级数展开

$$\tilde{x}(n) = \frac{1}{N} \sum_{k=0}^{N-1} \tilde{X}(k) W_N^{-nk}$$

$$Y_D(e^{j\omega_y}) = \sum_{m=-\infty}^{\infty} y_D(m) e^{-j\omega_y m} = \sum_{m=-\infty}^{\infty} x'(Dm) e^{-j\omega_y m}$$

$$= \sum_{m=-\infty}^{\infty} [x(Dm) \sum_{k=-\infty}^{\infty} \delta(Dm - kD)] e^{-j\omega_y m}$$

$$\text{令 } l = Dm = \sum_{l=-\infty}^{\infty} [x(l) \sum_{k=-\infty}^{\infty} \delta(l - kD)] e^{-j\frac{\omega_y}{D} l}$$

$$= \sum_{l=-\infty}^{\infty} [x(l) \frac{1}{D} \sum_{i=0}^{D-1} e^{j\frac{2\pi}{D} li}] e^{-j\frac{\omega_y}{D} l}$$

抽取前后复频谱间关系

$$\begin{aligned} Y_D(z_y) &= \frac{1}{D} \sum_{i=0}^{D-1} X(z_x e^{-j\frac{2\pi i}{D}}) \\ &= \frac{1}{D} \sum_{i=0}^{D-1} X(z_x W_D^i) \end{aligned}$$

$$= \frac{1}{D} \sum_{i=0}^{D-1} [\sum_{l=-\infty}^{\infty} x(l) e^{-j\frac{\omega_y l - 2\pi i l}{D}}]$$

$$\text{做DTFT} = \frac{1}{D} \sum_{i=0}^{D-1} X(e^{j\frac{\omega_y - 2\pi i}{D}})$$

$$\omega_y = D\omega_x = \frac{1}{D} \sum_{i=0}^{D-1} X(e^{j(\omega_x - \frac{2\pi i}{D})})$$

抽取后的频谱:

D倍扩展

幅度降到 1/D

2π 整数倍周期移位叠加

7.2 以整数因子D抽取

5、抽取的频率响应

$$Y_D(e^{j\omega_y}) = \frac{1}{D} \sum_{i=0}^{D-1} X(e^{j(\omega_x - \frac{2\pi i}{D})})$$

频率轴 ω_x
重复D次
周期为 $2\pi/D$
幅度减小到1/D

频率轴 $\omega_y = D\omega_x$
频率扩展D倍
相邻周期间距减小，可能混叠

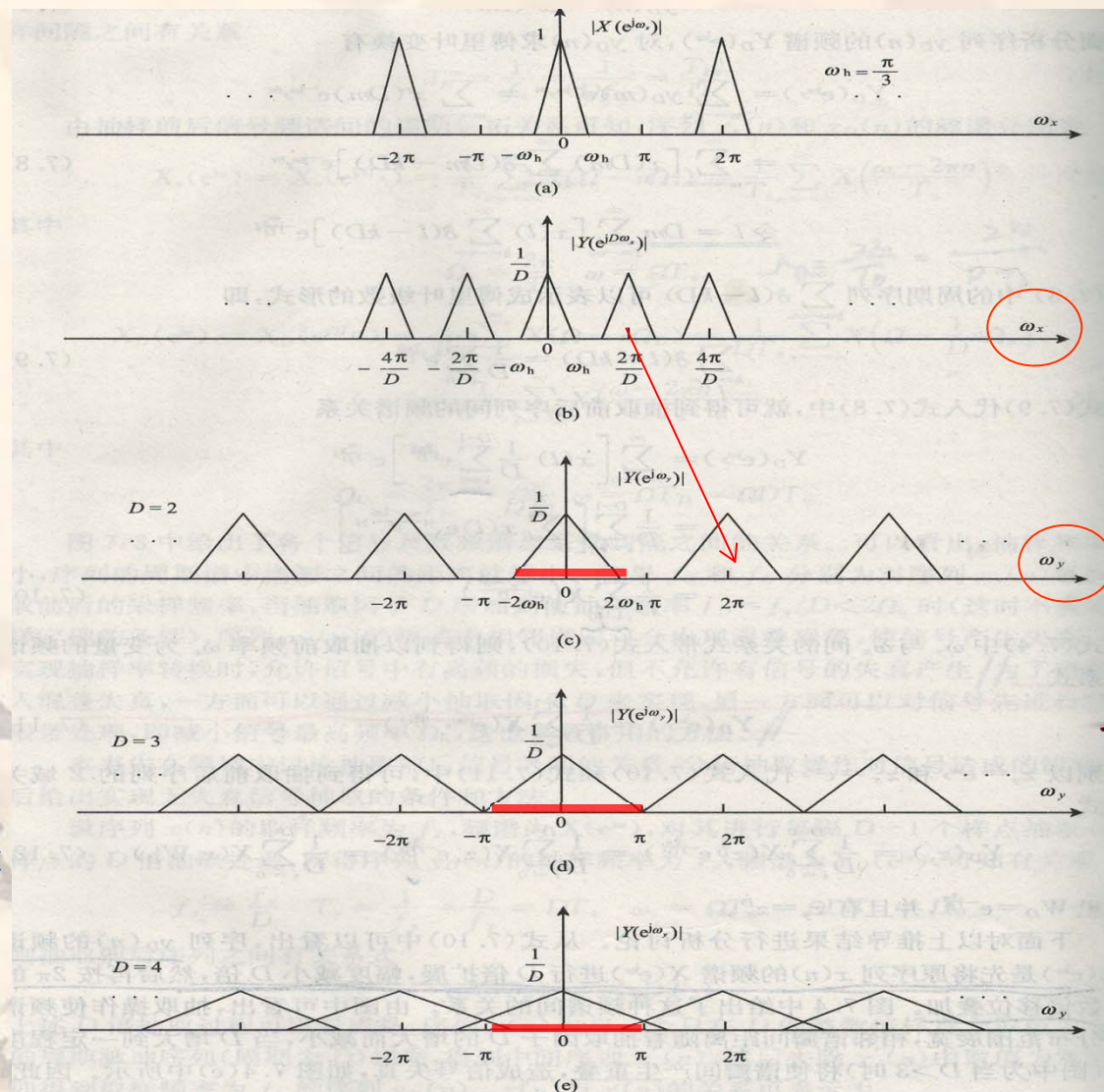


图 7.4 不同抽取后信号频谱的变化

7.2 以整数因子D抽取

- ❖ 抽样率转换时，允许信号中有高频的损失，不允许有信号的失真（混叠）产生。
- ❖ 为了减小混叠失真，采取的方法：
 - ∞ 通过减小抽取因子D来实现
给定带宽 $[-w_h, w_h]$ ，保证不引入混叠的最大抽取因子 $D_{\max} = \left\lfloor \frac{\pi}{w_h} \right\rfloor$
 - ∞ 通过对信号先进行滤波限带处理，即减小信号的最高频率
给定抽样率D，保证不产生混叠的原信号带宽为 $[-\frac{\pi}{D}, \frac{\pi}{D}]$

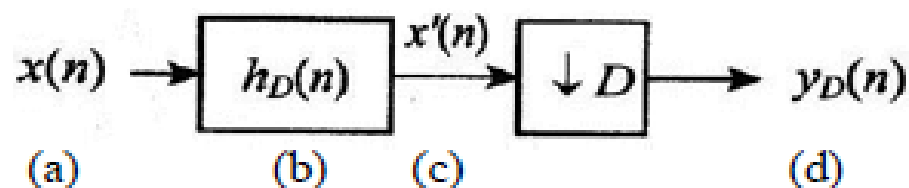
7.2 以整数因子D抽取

滤波限带处理 $w_y = Dw_x$

给定信号带宽 $[-\omega_h, \omega_h]$

保证不引入混叠的

最大抽取因子 $D_{\max} = \lfloor \pi / \omega_h \rfloor$ 。



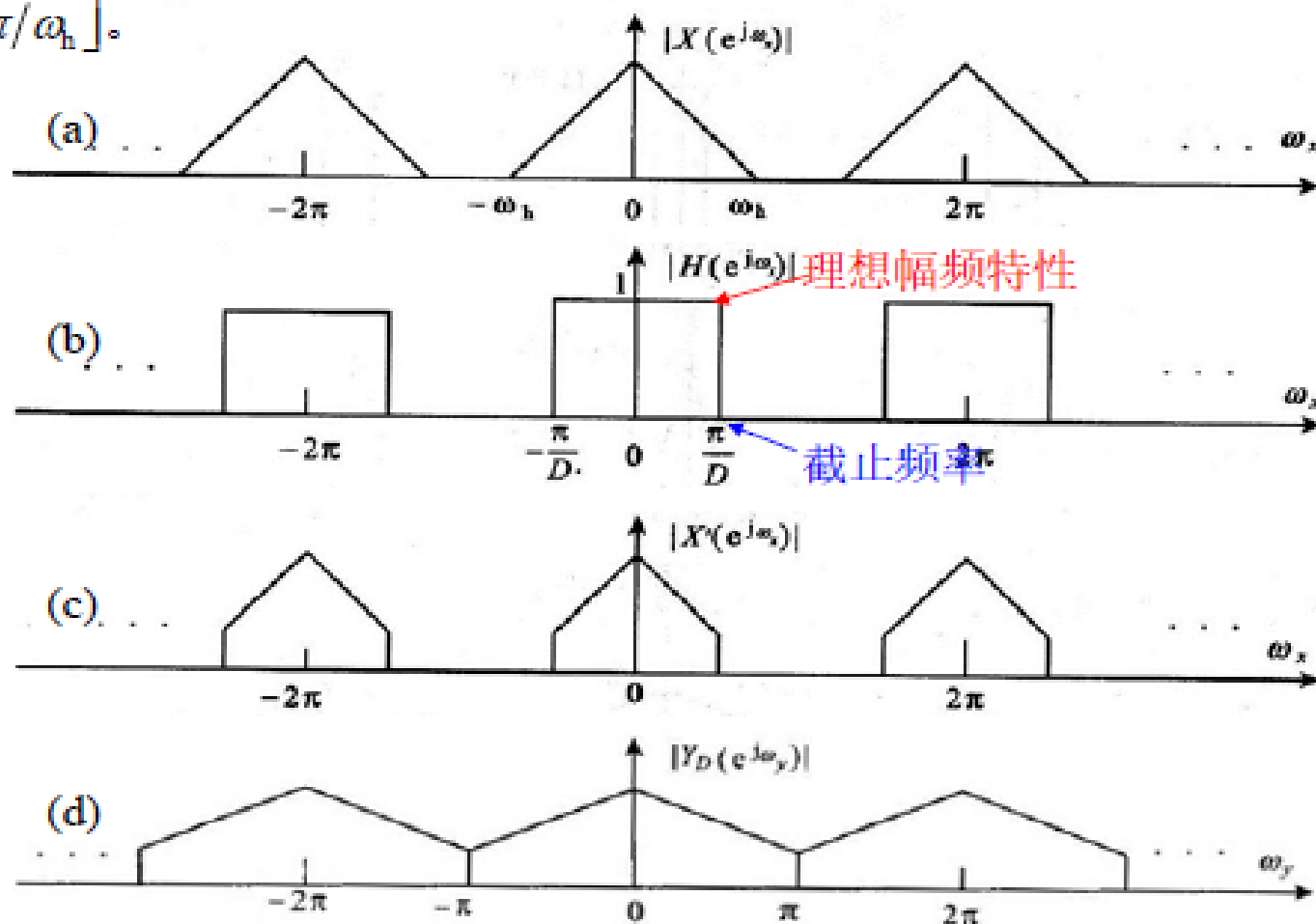
给定抽取因子D,

为抽取后不产生混叠,
原信号带宽须限制在

$\left[\frac{-\pi}{D}, \frac{\pi}{D} \right]$ 内。

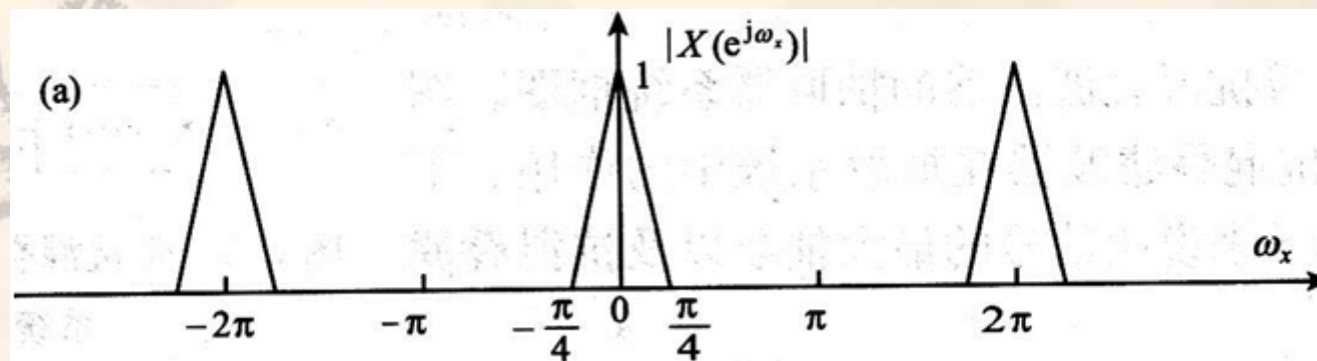
为避免产生混叠,

抽取前应先做
抗混叠滤波。



7.2 以整数因子D抽取

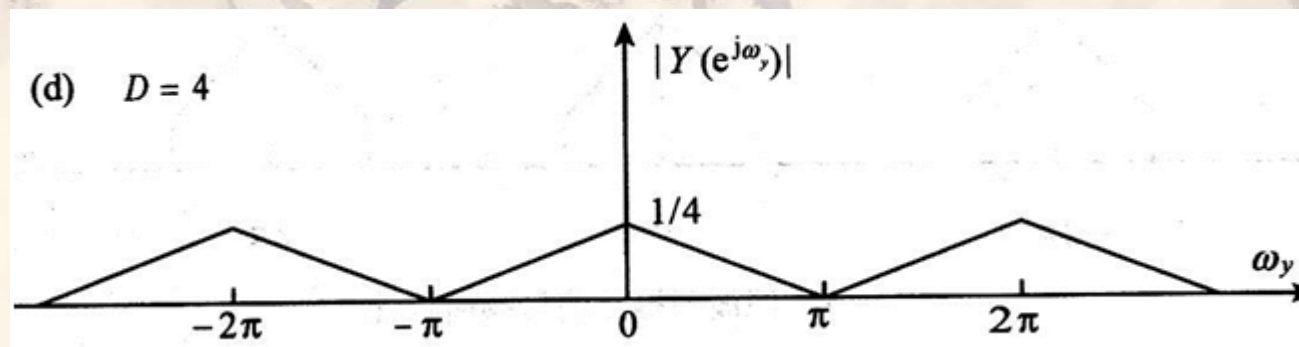
例7.1 信号 $x(n]$ 的频谱如图。



(1) 求信号的最大抽取因子及抽取后信号的频谱

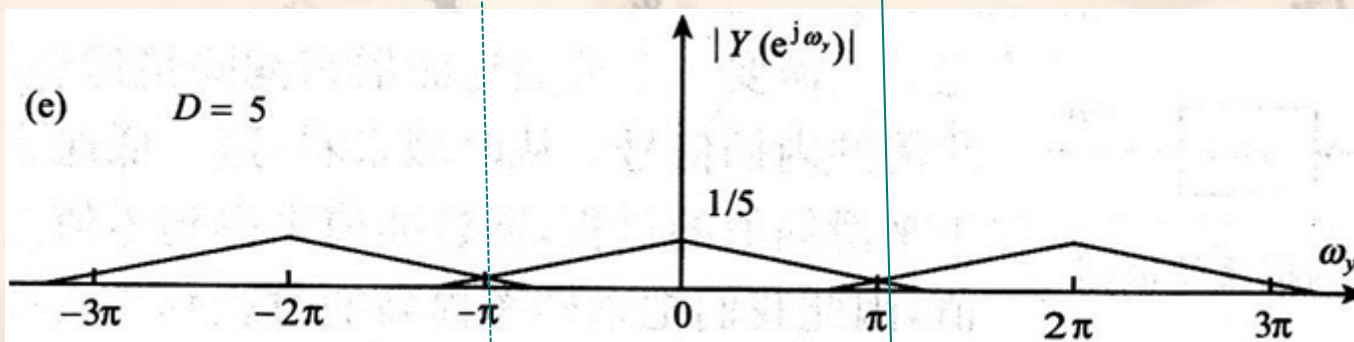
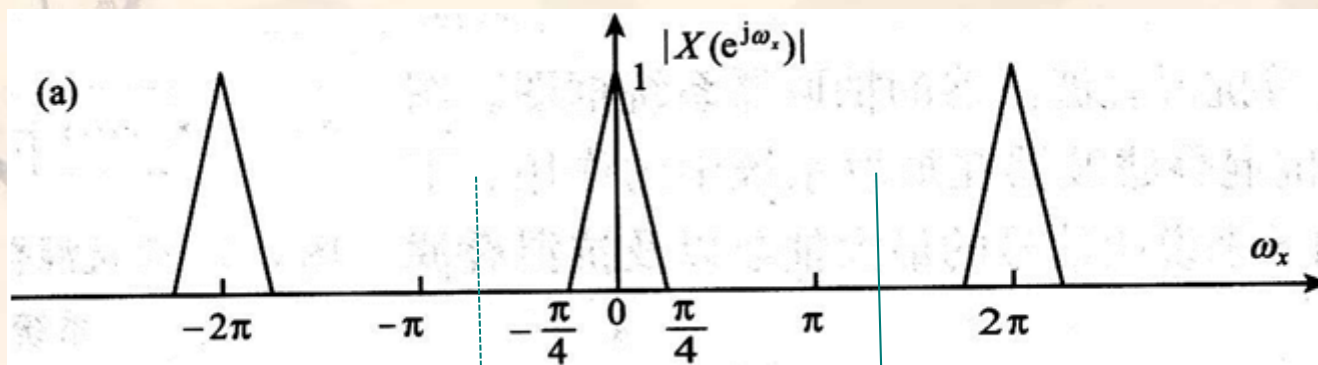
最大抽取因子 $D_{\max} = \left\lfloor \frac{\pi}{\omega_h} \right\rfloor = 4$

用最大因子抽取后信号的频谱 $D = 4$



7.2 以整数因子D抽取

(2) 若对 $x(n)$ 进行 $D=5$ 的抽取。求抽取后信号 $y(n)$ 的频谱。



混叠

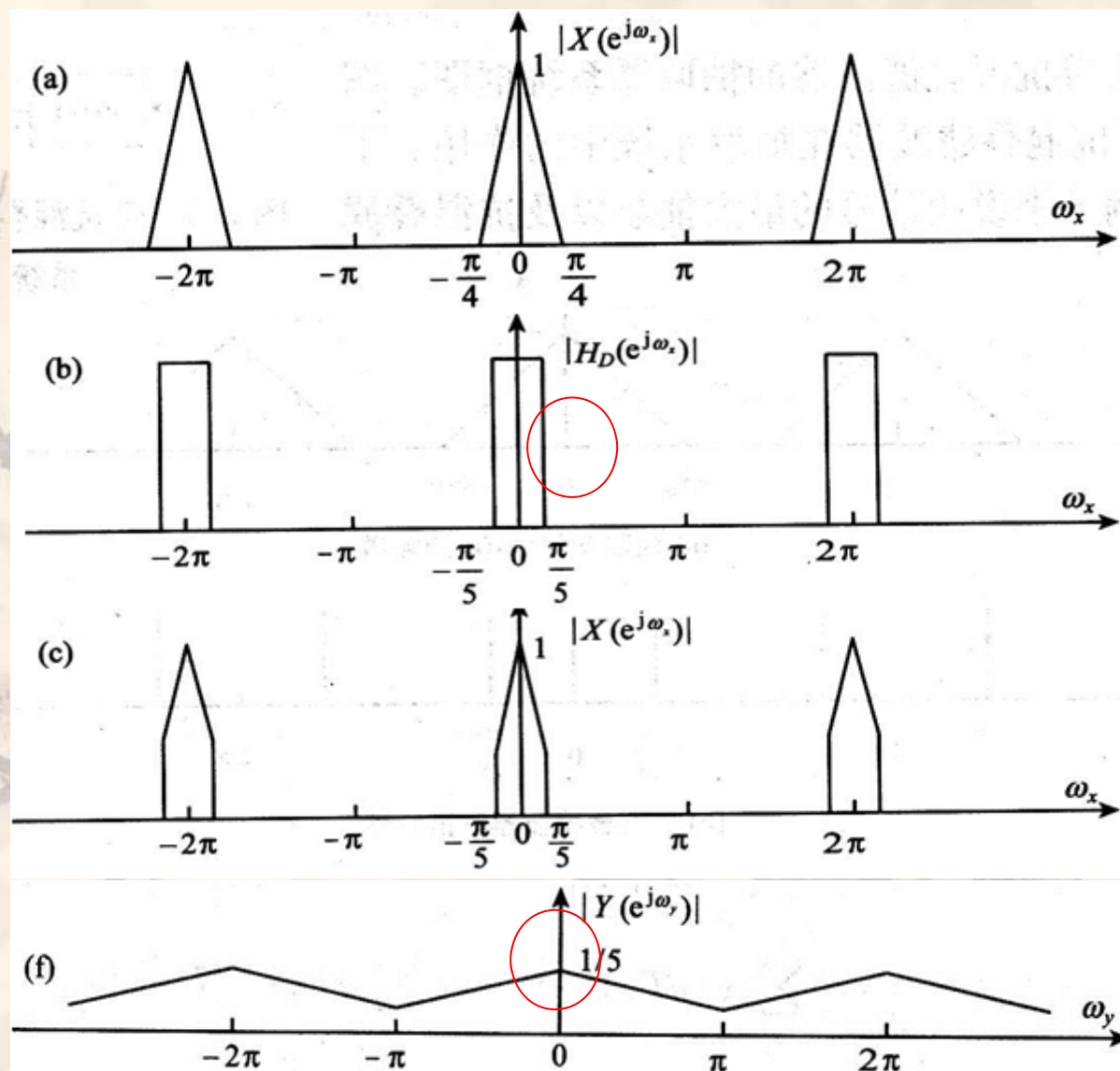
7.2 以整数因子D抽取

要进行 $D=5$ 的抽取。

为使信号 $y(n)$ 无混叠，
求抗混叠滤波器的
截止频率。

先抗混叠滤波

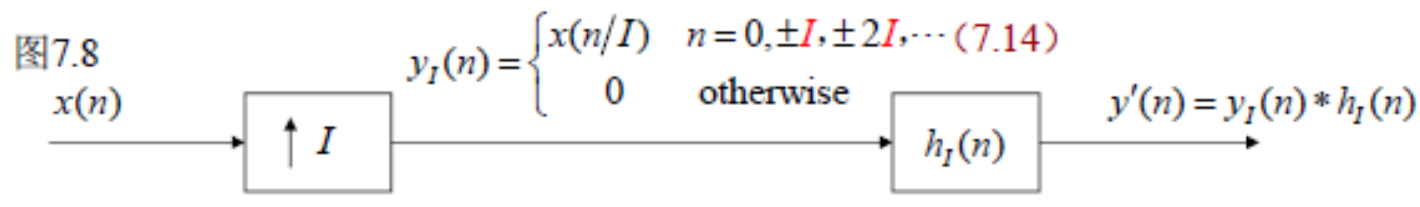
再抽取



7.3 以整数因子 I 内插

❖ 内插——提高抽样频率（上采样，升采样）

I倍内插：每个样点后插入I-1个零值点，再通过低通滤波来平滑



抽样间隔 T_x

$$T_y = T_x / I$$

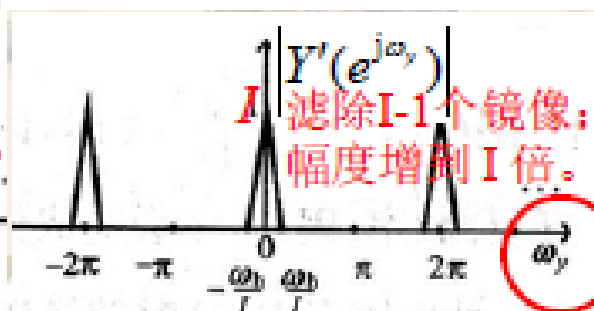
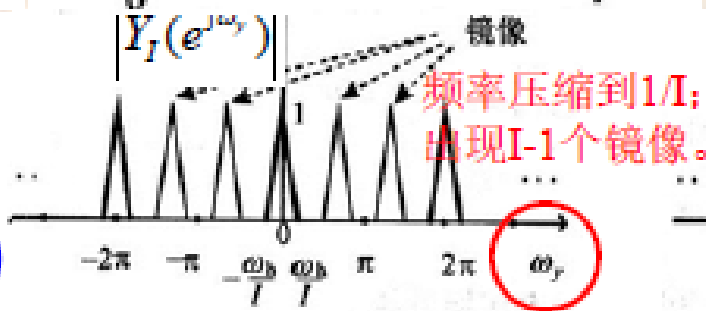
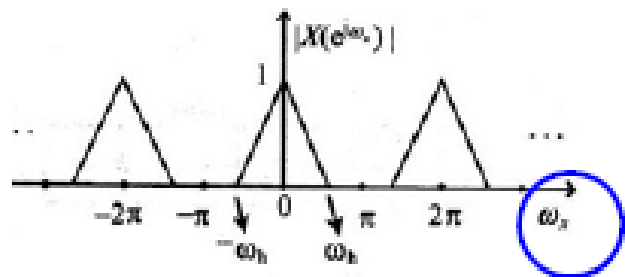
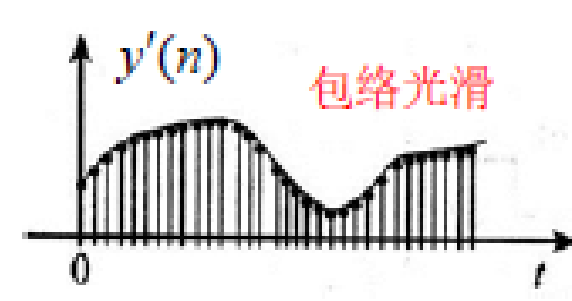
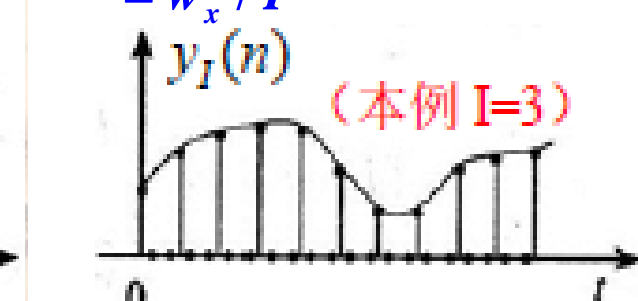
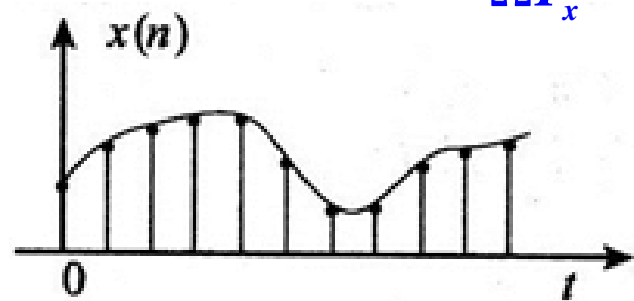
理想频响

弥补能量损失

数字角频率 $\omega_x = 2\pi f T_x$ $\omega_y = 2\pi f T_y$

$$= \Omega T_x \quad = \omega_x / I$$

$$|H_I(e^{j\omega})| = \begin{cases} I, & |\omega_y| \leq \frac{\pi}{I} \\ 0, & \text{otherwise} \end{cases}$$

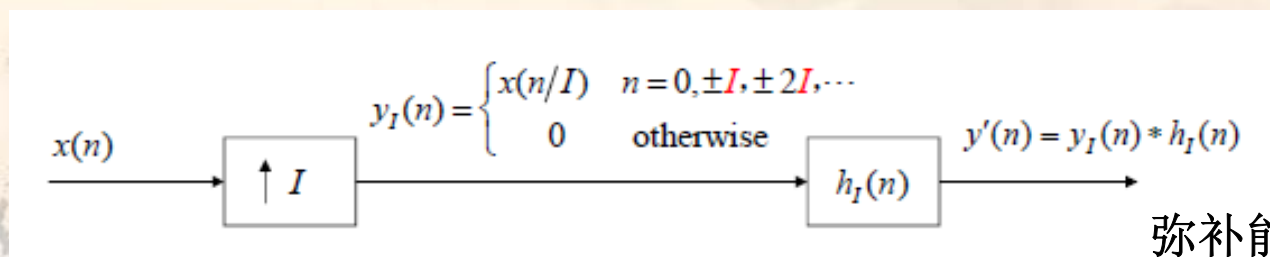


❖ 说明:

- ❧ 内插过程中原信号相邻样本点间插入的是**零值点**，而非真正的抽样点
- ❧ 得到一个抽样率提高了1倍的信号，同时**存在镜像失真**；
- ❧ 为了消除镜像失真，需要加入一个**低通滤波器**

注：镜像失真与抽样产生的混叠失真不同，**镜像不会造成信号的信息损失。**

7.3 以整数因子 I 内插



内插前后复频谱的关系

$$\begin{aligned}
 Y_I(z) &= \sum_{n=-\infty}^{\infty} y_I(n) z^{-n} = \sum_{\substack{n=-\infty \\ n=mI}}^{\infty} x(n/I) z^{-n} \\
 &= \sum_{m=-\infty}^{\infty} x(m) z^{-mI} = \sum_{m=-\infty}^{\infty} x(m) (z^I)^{-m} \\
 &= X(z^I)
 \end{aligned}$$

内插前后
频谱的关系

$$Y_I(e^{j\omega_y}) = X(e^{j\omega_y I})$$

低通滤波器

$$|H_I(e^{j\omega})| = \begin{cases} I, & |\omega_y| \leq \frac{\pi}{I} \\ 0, & \text{otherwise} \end{cases}$$

内插且滤波后

频谱的关系

$$\begin{aligned}
 Y'(e^{j\omega_y}) &= Y_I(e^{j\omega_y}) H_I(e^{j\omega_y}) \\
 &= X(e^{j\omega_y I}) H_I(e^{j\omega_y})
 \end{aligned}$$

频带压缩了 I 倍，周期变为 $2\pi / I$

(不同于周期延拓，不会混叠)

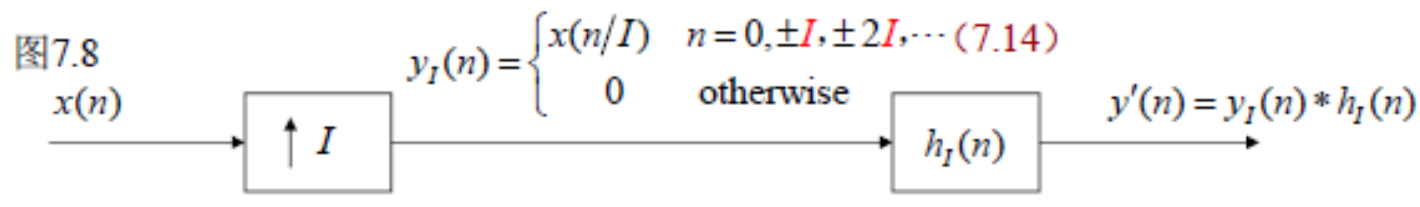
原主值区间上，现在有 I 个谱瓣 (镜像)。

频域：只保留一个谱瓣
时域：包络平滑

7.3 以整数因子 I 内插

❖ 内插——提高抽样频率（上采样，升采样）

I倍内插：每个样点后插入I-1个零值点，再通过低通滤波来平滑



抽样间隔 T_x

$$T_y = T_x / I$$

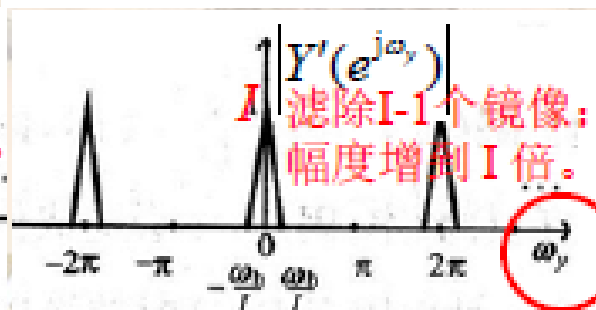
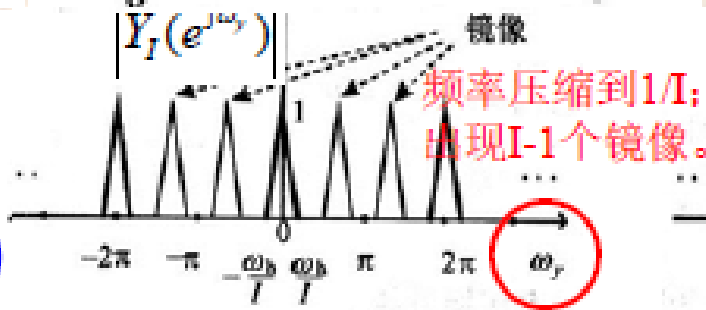
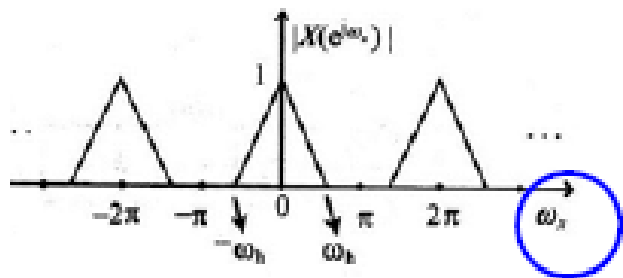
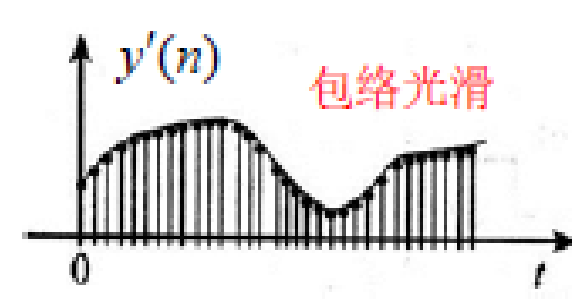
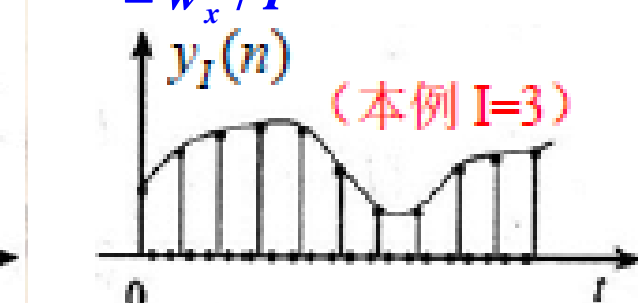
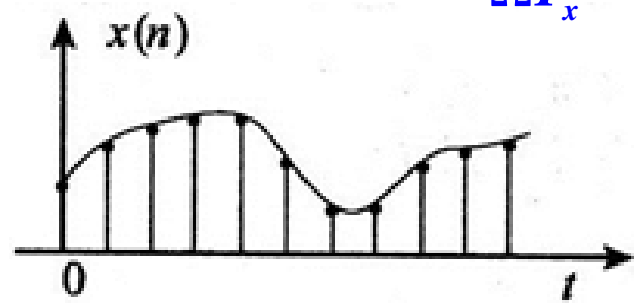
理想频响

弥补能量损失

数字角频率 $\omega_x = 2\pi f T_x$ $\omega_y = 2\pi f T_y$

$$= \Omega T_x \quad = \omega_x / I$$

$$|H_I(e^{j\omega})| = \begin{cases} I, & |\omega_y| \leq \frac{\pi}{I} \\ 0, & \text{otherwise} \end{cases}$$



7.3 以整数因子 L 内插

❖ 低通滤波器的作用：

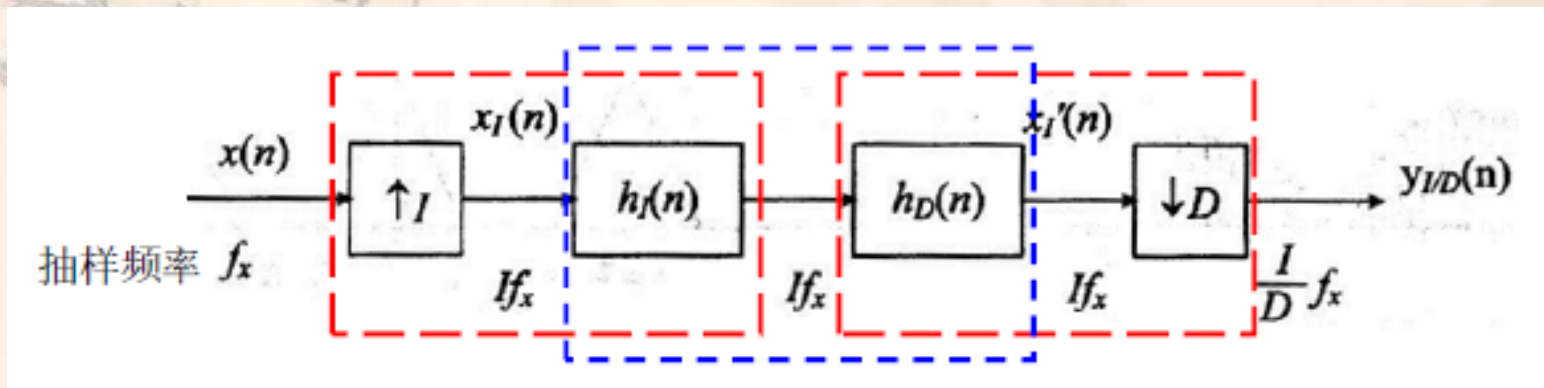
- ⌘ 通过对滤波器频带的设置，实现对镜像谱的滤除；
- ⌘ 通过卷积运算实现对所插入零值点的插值运算，得到平滑的内插信号。

7.4 以有理数因子 I/D 转换抽样频率

将抽样率变为 I/D 倍 I 和 D 为互质的整数

先内插，再抽取。（why?）

抽取降低了采样频率，是原信号样值点减少，可能会造成信息的丢失，产生混叠。



两个低通滤波器级联，工作频率相同

合成一个低通滤波器 $h(n)$

应逼近的理想频率响应

$$|H(e^{jw})| = \begin{cases} I, & |w| \leq \min(\frac{\pi}{I}, \frac{\pi}{D}) \\ 0, & \text{otherwise} \end{cases}$$

保证消除内插器中的镜像谱，又保证抽取器中不存在混叠失真。

7.4 以有理数因子 I/D 转换抽样频率

输入输出的频域关系

两个低通滤波器级联，工作频率相同

合成一个低通滤波器 $h(n)$

应逼近的理想频率响应

$$|H(e^{jw})| = \begin{cases} I, & |w| \leq \min(\frac{\pi}{I}, \frac{\pi}{D}) \\ 0, & \text{otherwise} \end{cases}$$

保证消除内插器中的镜像谱，
又保证抽取器中不存在混叠失真。

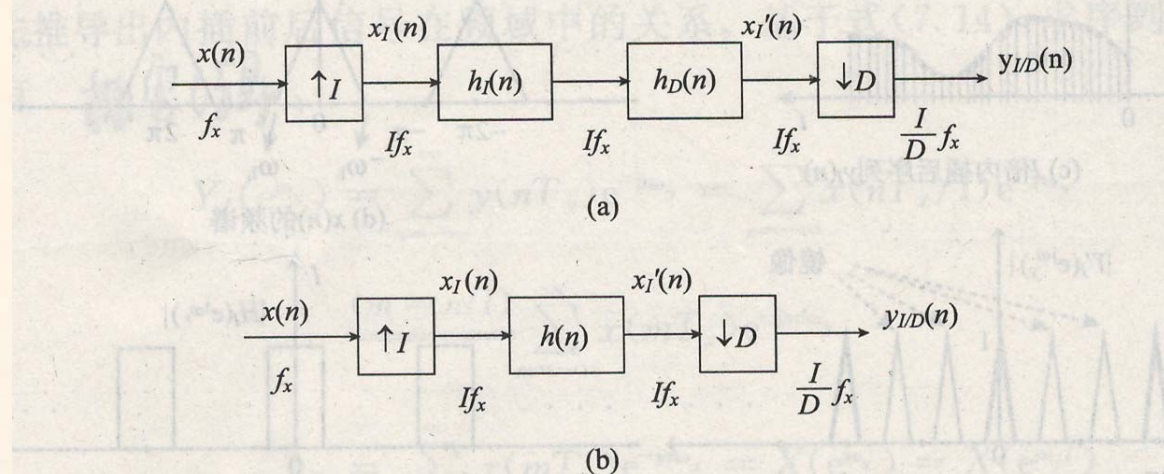


图 7.10 有利因子 I/D 频率转换系统

$\frac{I}{D} > 1$, 转换后的抽样频率大于原抽样频率，
不会造成信号信息的丢失

$\frac{I}{D} < 1$, 转换后的抽样频率小于原抽样频率，
原信号中部分高频信息丢失，这是由抗混叠滤波造成

- ❖ 例7.2 设信号 $x(n]$ 的抽样频率为 $f_x = 12\text{kHz}$ ，分别按如下两种情况对其进行抽样率转换：（1）抽样频率转换为 $f_y = 26\text{kHz}$ ；
（2）抽样频率转换为 $f_y = 10\text{kHz}$

解（1）由于 $\frac{f_y}{f_x} = \frac{26}{12} = \frac{13}{6} = \frac{I}{D} > 1$, 无信息损失 $\min(\frac{\pi}{I}, \frac{\pi}{D}) = \frac{\pi}{I} = \frac{\pi}{13}$

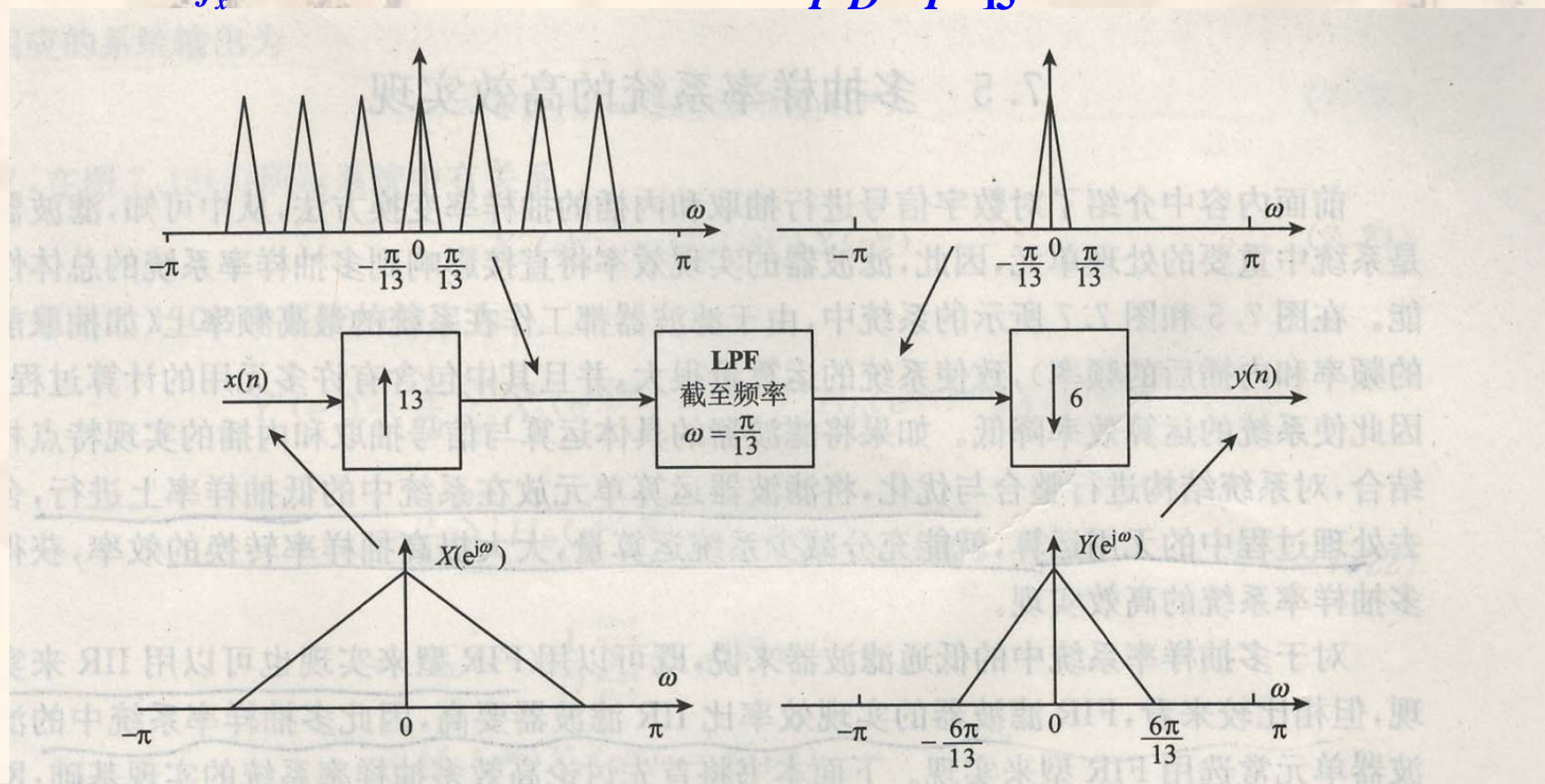


图 7.11 转换因子大于 1 时系统中信号的频谱分布

(2) 由于

$$\frac{f_y}{f_x} = \frac{10}{12} = \frac{5}{6} = \frac{I}{D} < 1, \quad \text{信息损失}$$

$$\min\left(\frac{\pi}{I}, \frac{\pi}{D}\right) = \frac{\pi}{D} = \frac{\pi}{6}$$

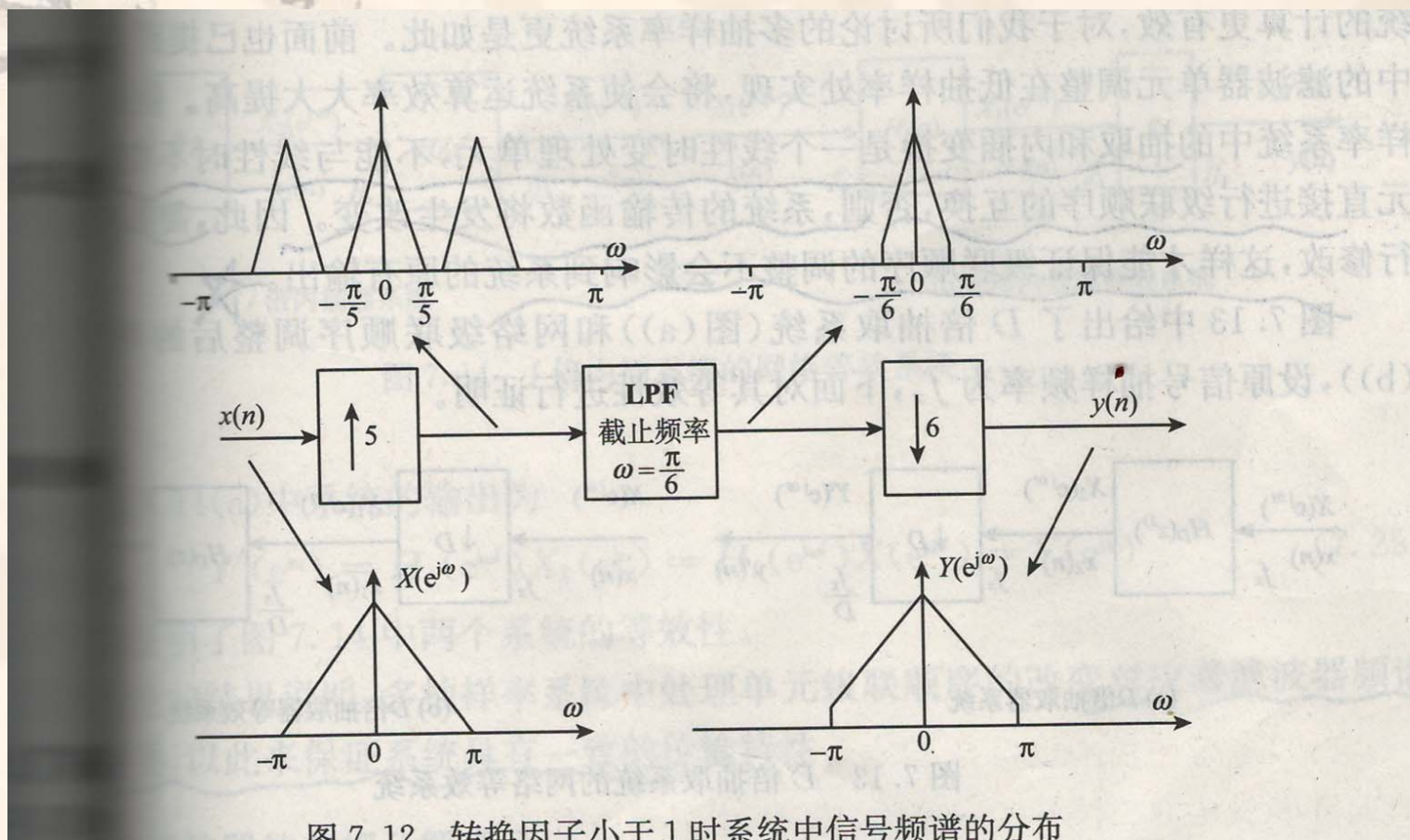


图 7.12 转换因子小于 1 时系统中信号频谱的分布

7.5 多抽样率系统的高效实现

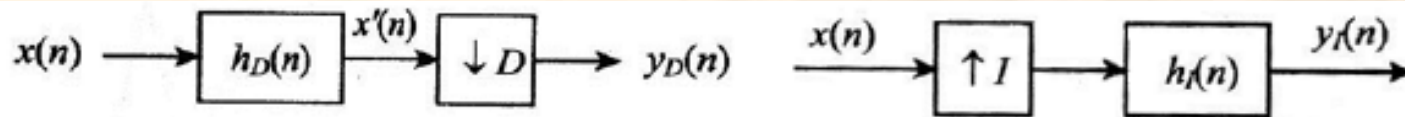


图 7.5 带抗混叠滤波器的抽取器系统框图

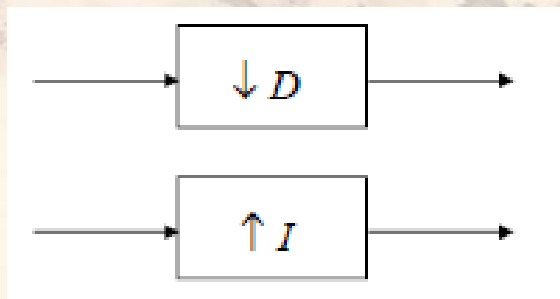


图 7.8 I 倍内插系统框图

运算量大（含无用计算），因为滤波器放在高抽样率的一侧
想要高效，滤波器应放在低抽样率的一侧（系统结构整合和优化）

想要避免相位失真，滤波器应当用**FIR** 型

抽取和内插都是线性、移变的，可以与放大器、加法器交换级联次序，



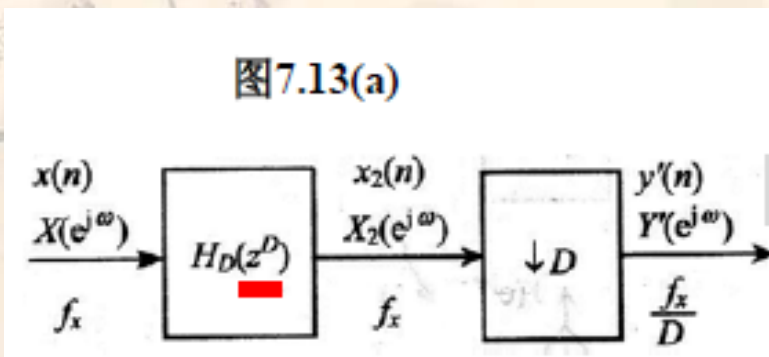
滤波器非线性
不能与**延迟器**交换级联次序。

怎样才能交换级联次序？

7.5 多抽样率系统的高效实现

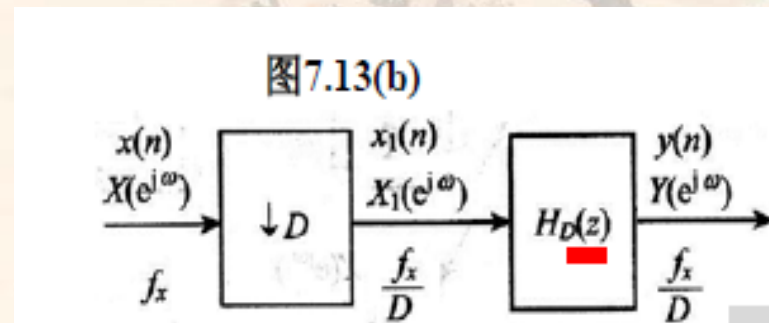
7.5.1 网络级联的恒等变换：抽取

图7.13(a)



数字角频率 $\omega = \Omega T_x$
 $= 2\pi f / f_x$

图7.13(b)



两个系统等效。

$$X_2(e^{j\omega}) = H_D(e^{j\omega D})X(e^{j\omega})$$

$$\begin{aligned} Y'(e^{j\omega}) &= \frac{1}{D} \sum_{i=0}^{D-1} X_2(e^{j\frac{\omega-2\pi i}{D}}) \\ &= \frac{1}{D} \sum_{i=0}^{D-1} H_D(e^{j(\omega-2\pi i)})X(e^{j\frac{\omega-2\pi i}{D}}) \\ &= \frac{1}{D} \sum_{i=0}^{D-1} H_D(e^{j\omega})X(e^{j\frac{\omega-2\pi i}{D}}) \\ &= H_D(e^{j\omega}) \frac{1}{D} \sum_{i=0}^{D-1} X(e^{j\frac{\omega-2\pi i}{D}}) \end{aligned}$$

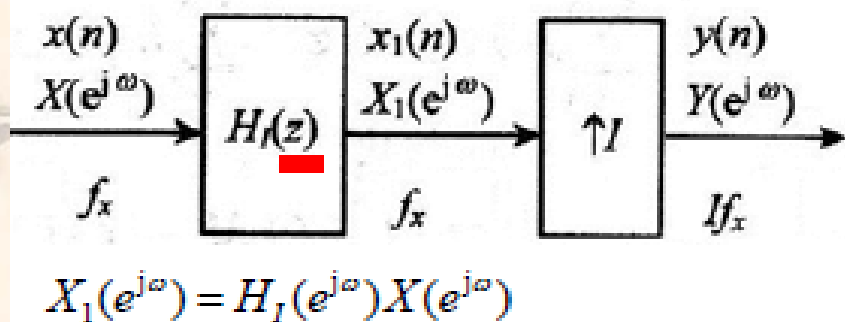
$$\begin{aligned} Y(e^{j\omega}) &= H_D(e^{j\omega}) \frac{1}{D} \sum_{i=0}^{D-1} X(e^{j\frac{\omega-2\pi i}{D}}) \\ &= Y'(e^{j\omega}) \end{aligned}$$

注：不是简单的互换次序，滤波器 $H_D(z^D)$ 和 $H_D(z)$ 之间的关系：频率轴成倍缩放。

7.5.1 网络级联的恒等变换

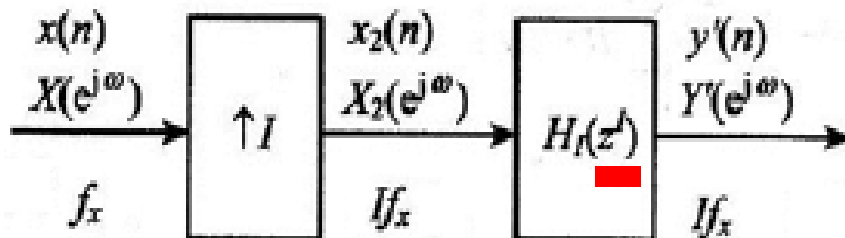
7.5.1 网络级联的恒等变换：内插

图7.14(b)



$$\begin{aligned} Y(e^{j\omega}) &= X_1(e^{j\omega I}) \\ &= H_I(e^{j\omega I})X(e^{j\omega I}) \end{aligned}$$

图7.14(a)



$$X_2(e^{j\omega}) = X(e^{j\omega I})$$

$$\begin{aligned} Y'(e^{j\omega}) &= H_I(e^{j\omega I})X_2(e^{j\omega}) \\ &= H_I(e^{j\omega I})X(e^{j\omega I}) \end{aligned}$$

$$Y(e^{j\omega}) = Y'(e^{j\omega})$$

两个系统等效。

不是简单的互换次序，滤波器 $H_I(z')$ 和 $H_I(z)$ 之间的关系：频率轴成倍缩放

7.5.2 FIR 滤波器的多相分解表示

借助上述 网络恒等变换，将系统中的滤波器单元与抽样率单元进行级联顺序的交换，从而获得更高效的系统实现

多相分解：
按信号不同
相位分组

$$\begin{aligned} H(z) &= \sum_{n=0}^{N-1} h(n)z^{-n} \\ &= [h(0)z^{-0} + h(1)z^{-1} + h(2)z^{-2} + \cdots + h(L-1)z^{-(L-1)}] + \\ &\quad [h(L)z^{-L} + h(L+1)z^{-(L+1)} + h(L+2)z^{-(L+2)} + \cdots + h(2L-1)z^{-(2L-1)}] + \cdots \\ &\quad [h((M-1)L)z^{-(M-1)L} + h((M-1)L+1)z^{-((M-1)L+1)} + h(ML-1)z^{-(ML-1)}] \\ &= \sum_{i=0}^{L-1} h(i)z^{-i} + \sum_{i=0}^{L-1} h(L+i)z^{-(L+i)} + \cdots + \sum_{i=0}^{L-1} h((M-1)L+i)z^{-((M-1)L+i)} \\ &= \sum_{i=0}^{L-1} z^{-i} \{h(i) + z^{-L}h(L+i) + \cdots + h((M-1)L+i)z^{-(M-1)L}\} \\ &= \sum_{i=0}^{L-1} z^{-i} \sum_{j=0}^{M-1} h(jL+i)z^{-jL} \\ &= \sum_{i=0}^{L-1} z^{-i} \sum_{j=0}^{M-1} h(jL+i)(z^L)^{-j} \\ &= \sum_{i=0}^{L-1} E_i(z^L)z^{-i} \end{aligned}$$

$$E_i(z^L) = \sum_{j=0}^{M-1} h(jL+i)(z^L)^{-j}, \quad i = 0, 1, 2, \dots, L-1$$

7.5.2 FIR 滤波器的多相分解表示

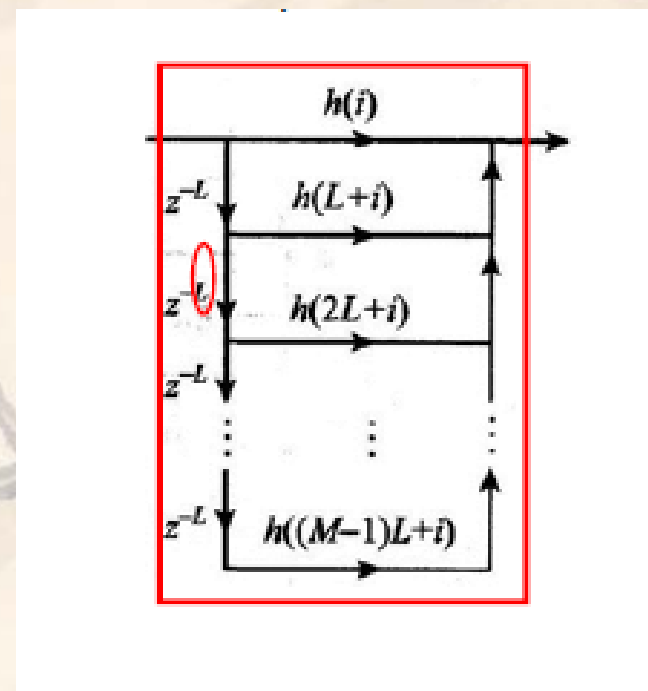
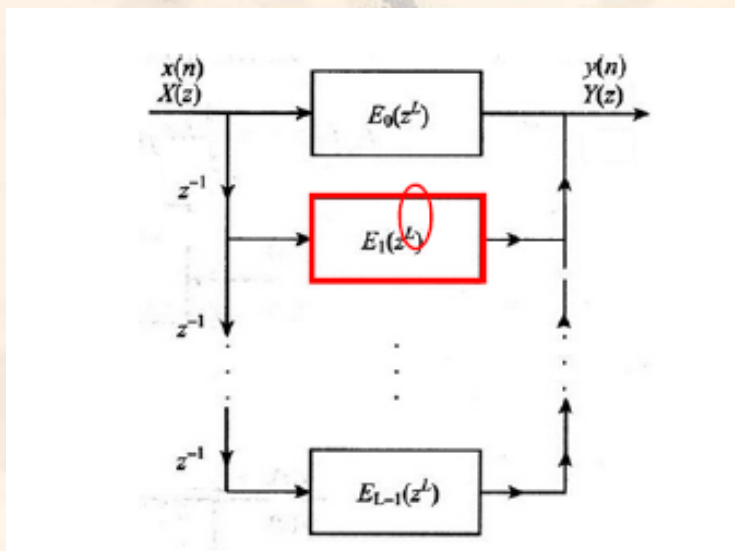
$$H(z) = \sum_{n=0}^{N-1} h(n)z^{-n} = \sum_{n=0}^{L-1} \boxed{E_i(z^L)} z^{-i}$$

直接型

多相型

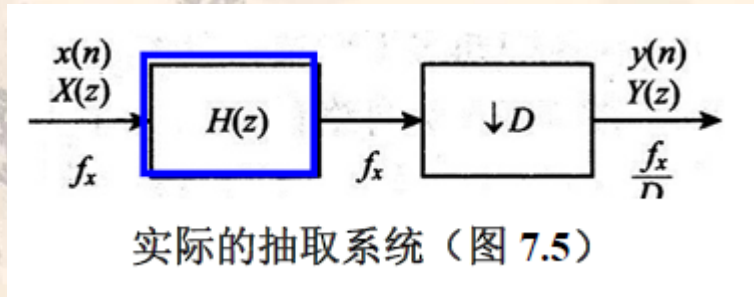
$$E_i(z^L) = \sum_{j=0}^{M-1} h(jL+i)(z^L)^{-j}, \quad i = 0, 1, 2, \dots, L-1$$

$$H(e^{j\omega}) = \sum_{n=0}^{N-1} h(n)e^{-j\omega n} = \sum_{n=0}^{L-1} E_i(e^{j\omega L})e^{-j\omega i}$$



7.5.3 多抽样率系统的高效FIR多相实现

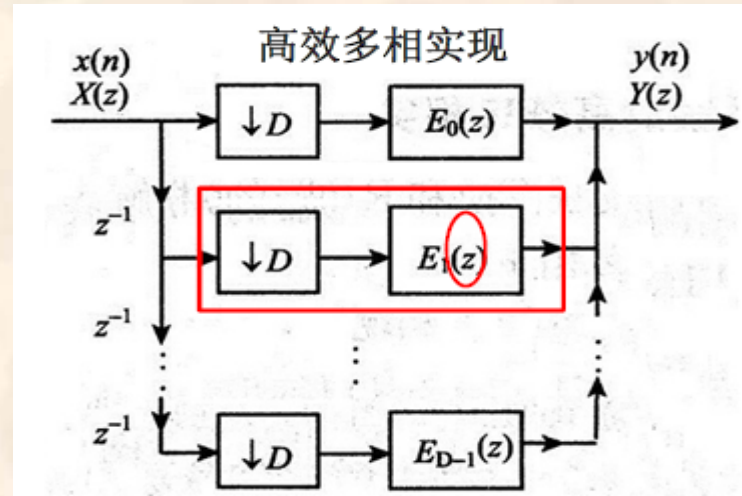
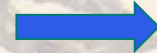
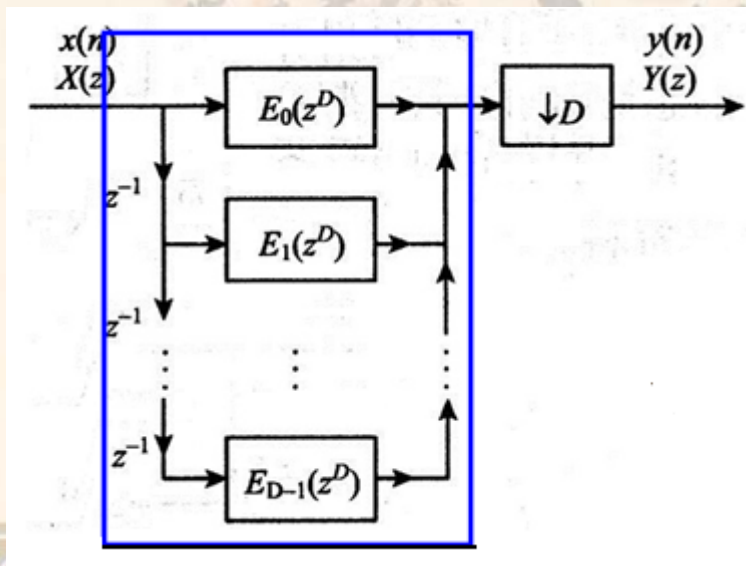
1. D 倍抽取器系统的高效FIR 多相实现



$$E_i(z^D) = \sum_{j=0}^{M-1} h(jD+i)(z^L)^{-j}, \quad i = 0, 1, 2, \dots, D-1$$



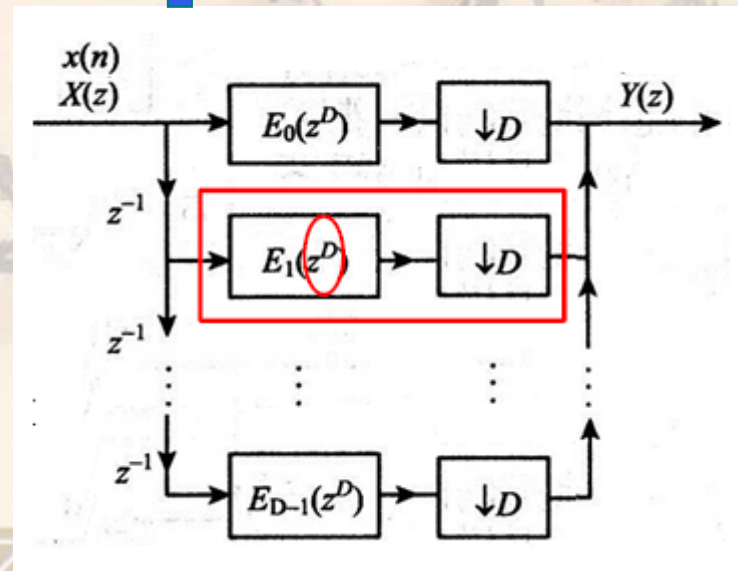
多相型



$$E_i(z) = \sum_{j=0}^{M-1} h(jD+i)(z)^{-j}, \quad i = 0, 1, 2, \dots, D-1$$



将乘法放在低抽样率的一侧



例7.3: 对抽样频率为 f_s 的信号 $x(n)$ 进行4倍抽取, 设滤波器冲击响应 $h(n)$ 的长度为12, 用高效FIR多相结构实现此抽取系统。

解: $D=4$, $N=12$, $M=N/D=3$. 滤波器以4个3阶并联子网络实现

$$E_0(z) = h(0) + h(4)z^{-1} + h(8)z^{-2}$$

$$E_1(z) = h(1) + h(5)z^{-1} + h(9)z^{-2}$$

$$E_2(z) = h(2) + h(6)z^{-1} + h(10)z^{-2}$$

$$E_3(z) = h(3) + h(7)z^{-1} + h(11)z^{-2}$$

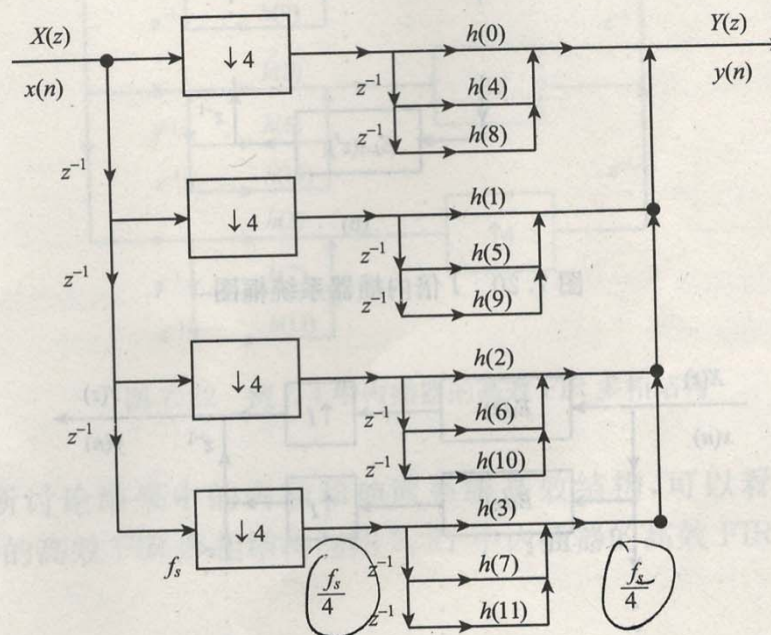
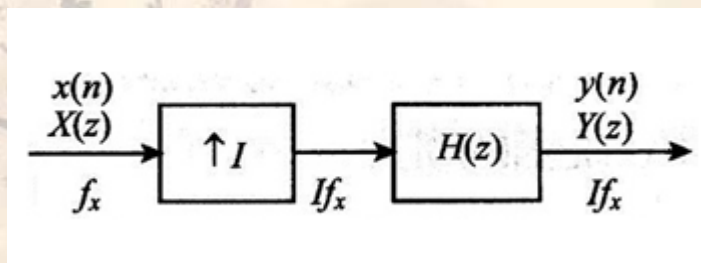


图 7.19 例 7.3 中抽取器的高效 FIR 多相结构

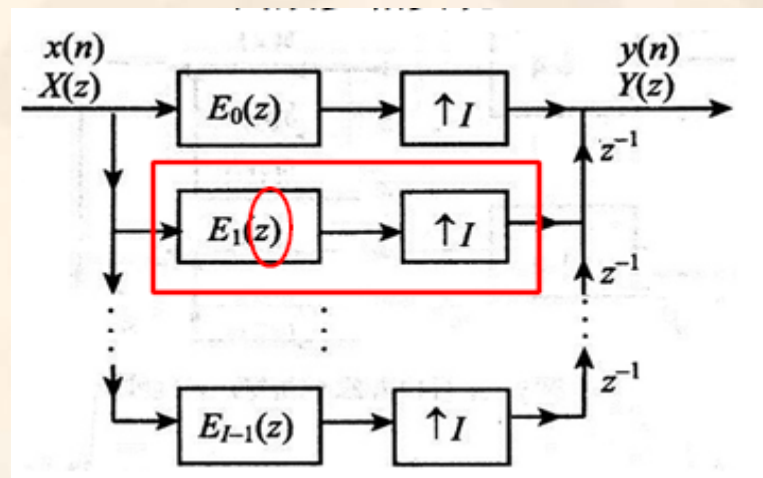
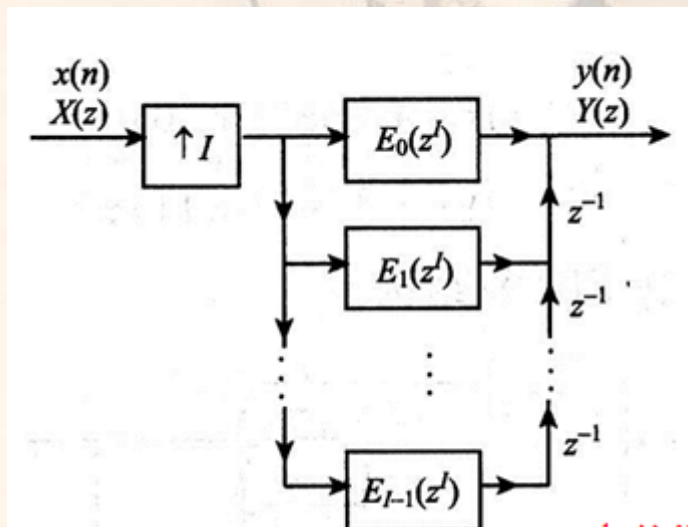
7.5.3 多抽样率系统的高效FIR多相实现

2. I 倍内插器系统的高效FIR 多相实现

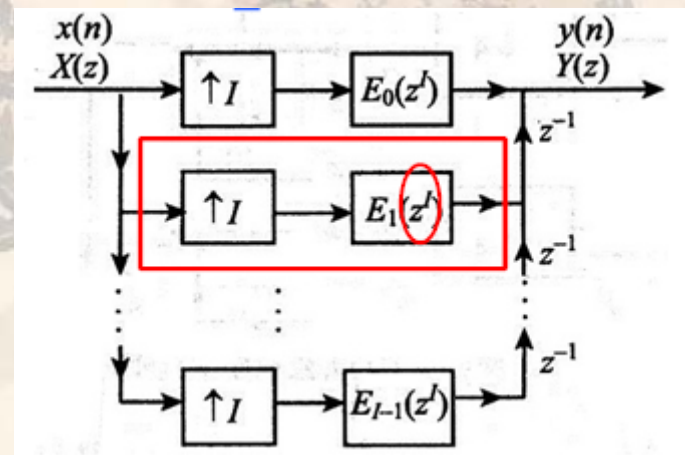
高效多相实现



多相型



将乘法放在低抽样率的一侧



例7.4: 对抽样频率为 f_s 的信号 $x(n)$ 进行4倍内插处理, 设滤波器冲击响应 $h(n)$ 的长度为12, 用高效FIR多相结构实现此内插系统。

解: $l=4$, $N=12$, $M=N/l=3$. 滤波器以4个3阶并联子网络实现

$$E_0(z) = h(0) + h(4)z^{-1} + h(8)z^{-2}$$

$$E_1(z) = h(1) + h(5)z^{-1} + h(9)z^{-2}$$

$$E_2(z) = h(2) + h(6)z^{-1} + h(10)z^{-2}$$

$$E_3(z) = h(3) + h(7)z^{-1} + h(11)z^{-2}$$

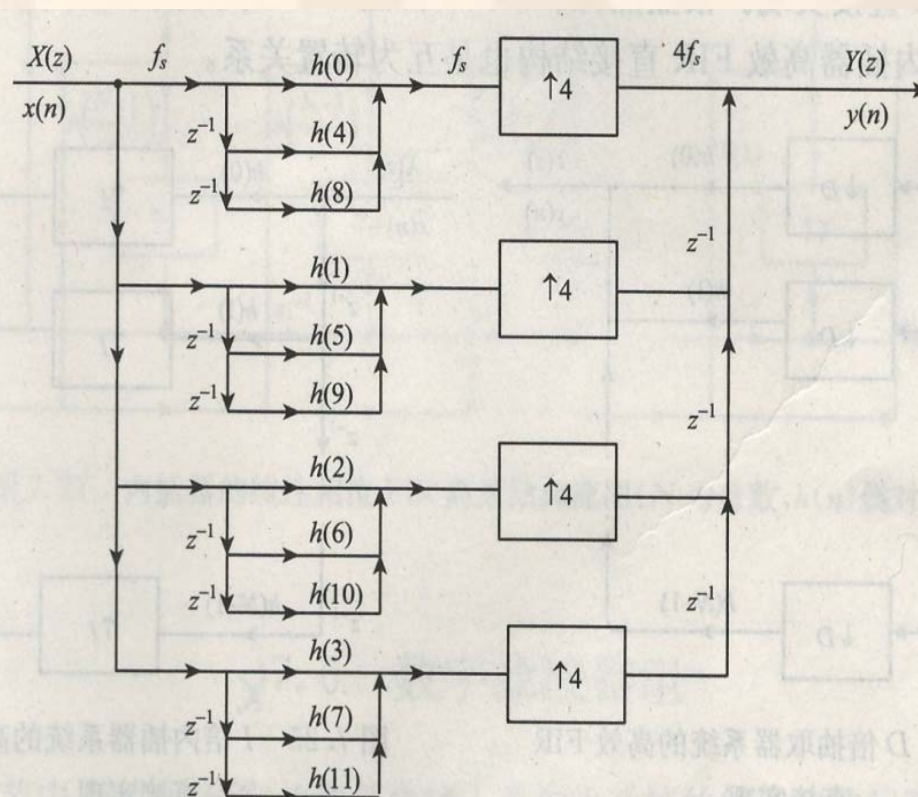


图 7.22 例 7.4 中内插器的高效 FIR 多相结构

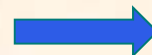
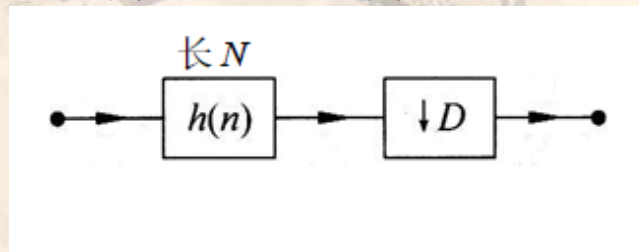
7.5.4 多抽样率系统的高效FIR直接实现

1. 抽取系统的高效FIR 直接结构

$$M=1, L=N,$$

$$E_i(z^L) = \sum_{j=0}^{M-1} h(jL+i)(z^L)^{-j} = h(i), \quad i=0,1,2,\dots,L-1$$

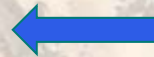
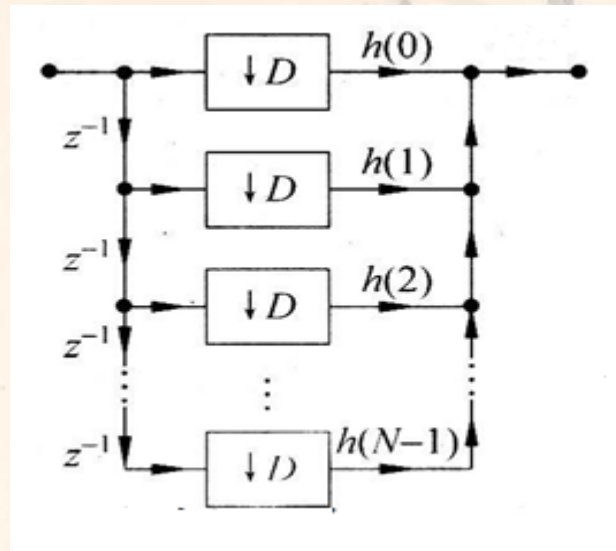
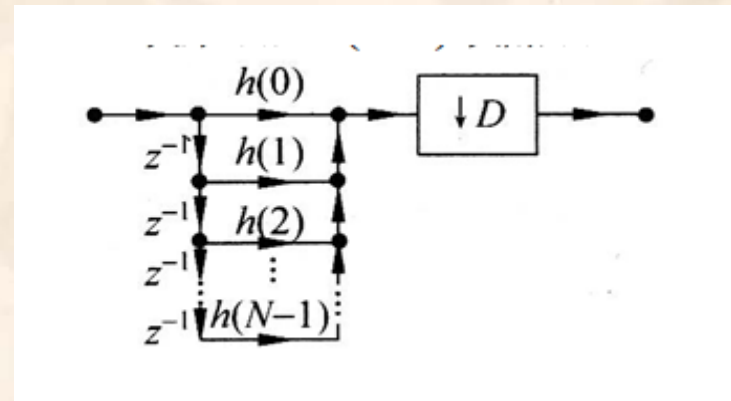
$$H(z) = \sum_{n=0}^{L-1} E_i(z^L)z^{-i} = \sum_{i=0}^{N-1} h(i)z^{-i}$$



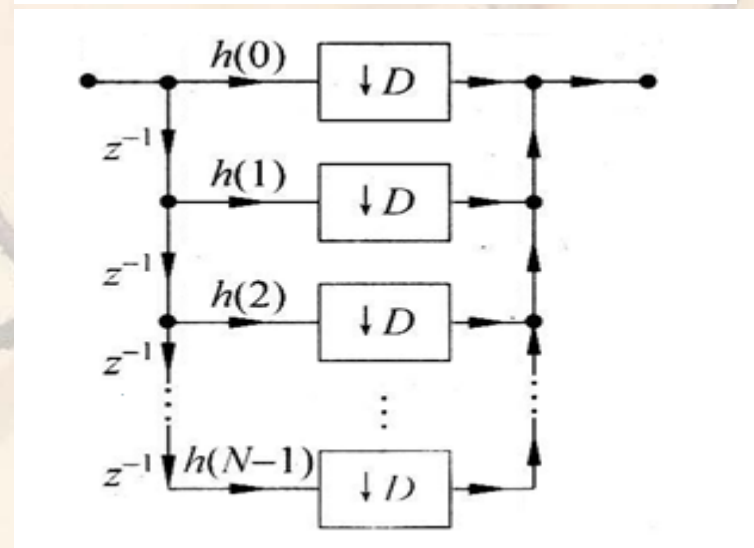
直接型

$E_i(z^N)$

每 D 个输入抽样，产生一个输出抽样。
需 DN 次乘法， $D(N-1)$ 次加法。



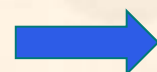
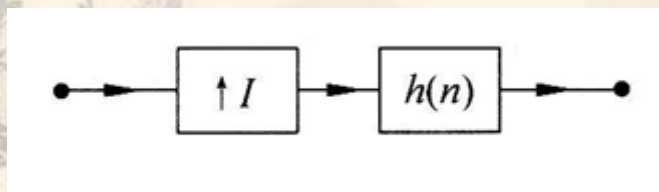
将乘法放在低
抽样率的一侧



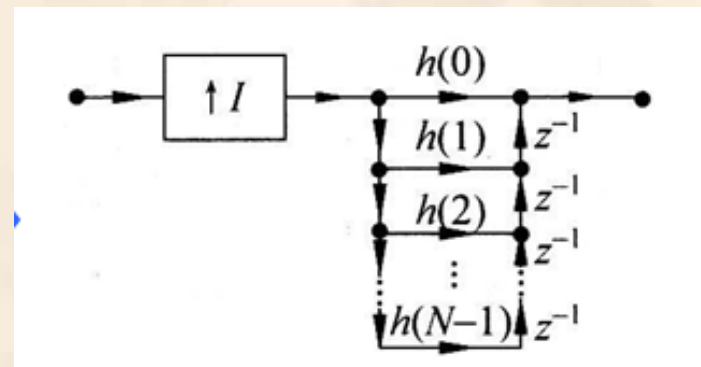
每 D 个输入抽样，
需 N 次乘法， $(N-1)$ 次加法。

7.5.4 多抽样率系统的高效FIR直接实现

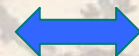
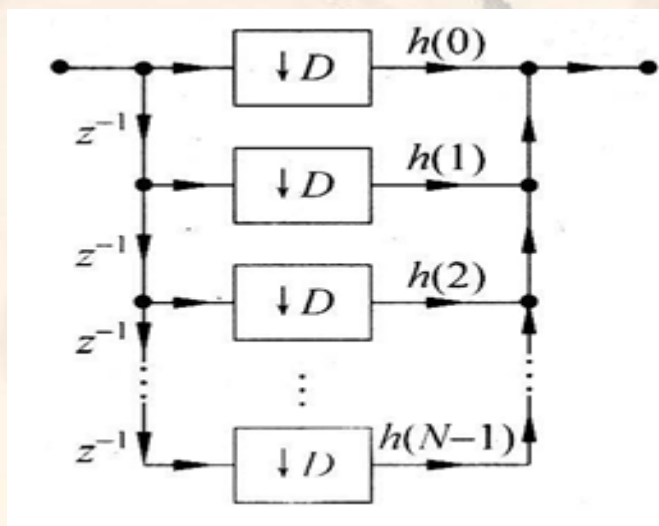
2. 内插系统的高效FIR 直接结构



每一个输入抽样，需 IN 次乘法...

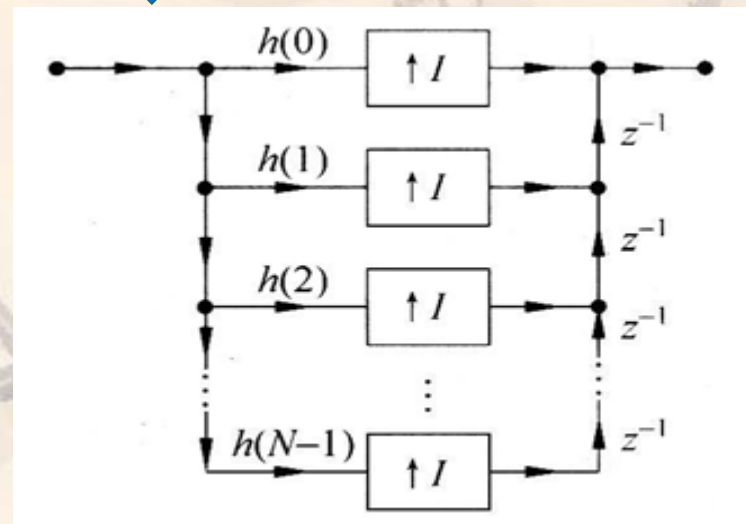


对照：抽样系统的FIR结构



互为转置
(若 $D = 1$)

将乘法放在低抽样率的一侧



每一个输入抽样，需 N 次乘法...

7.5.4 多抽样率系统的高效FIR直接实现

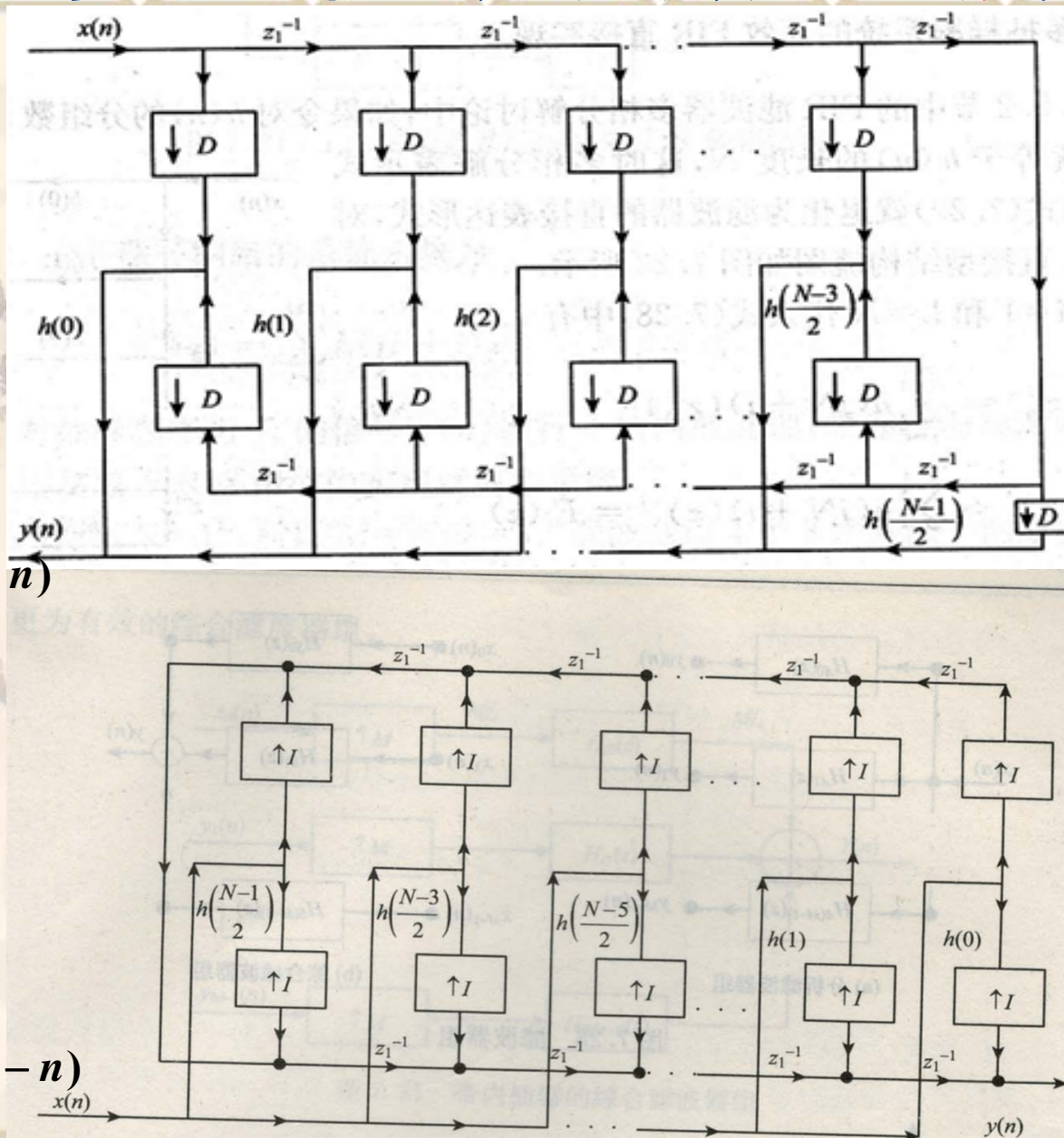
3. 抽取的FIR 线性相位结构

$h(n)$ 偶对称
 N 为奇数

$$\begin{cases} \tau = \frac{N-1}{2} \\ h(n) = h(N-1-n) \end{cases}$$

$h(n)$ 偶对称
 N 为奇数

$$\begin{cases} \tau = \frac{N-1}{2} \\ h(n) = h(N-1-n) \end{cases}$$



先抽取
后乘

先乘
后内插

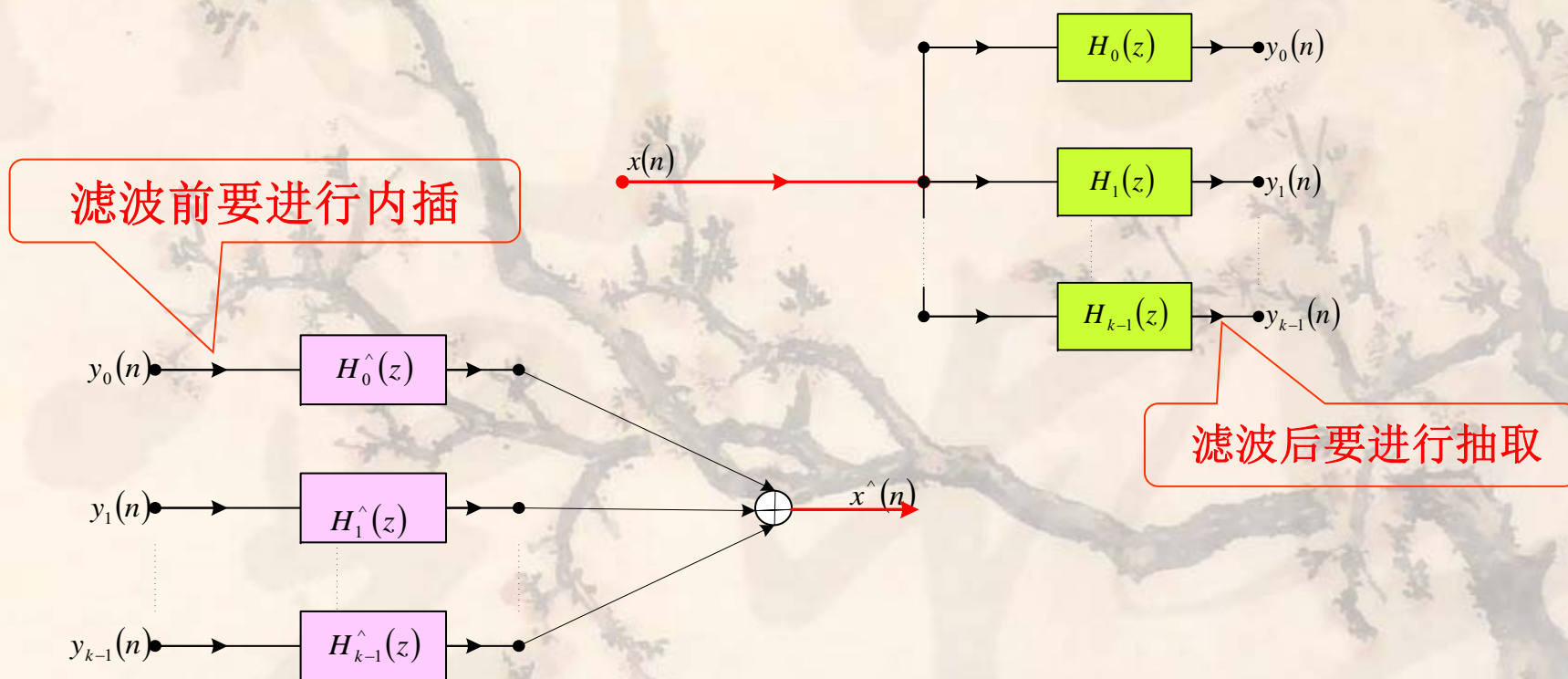
图 7.27 内插器的线性相位 FIR 高效结构流图(N 为奇数, $h(n)$ 偶对称)

7.6 多率数字滤波器组

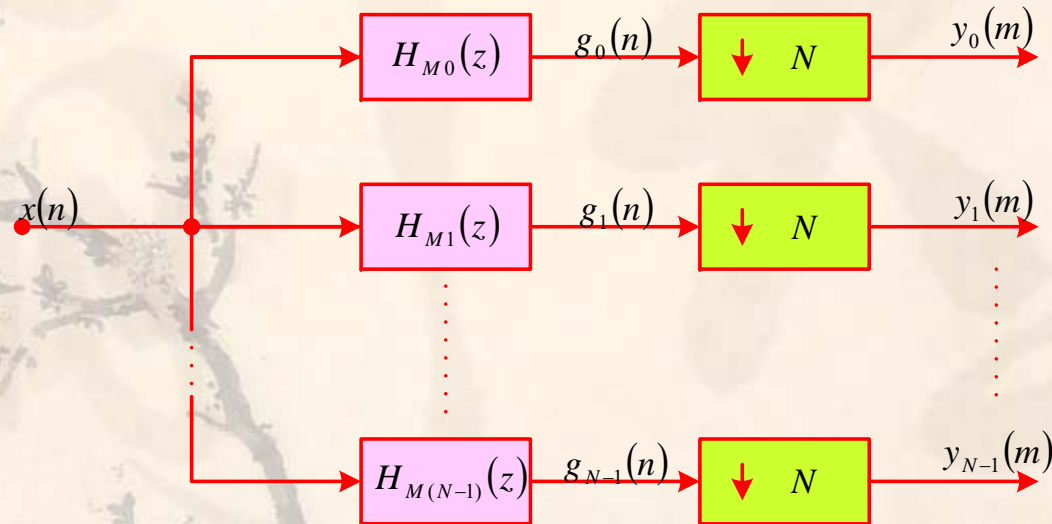
数字滤波器组：具有共同输入或者共同输出的一组数字滤波器

分析滤波器组：具有共同输入的一组数字滤波器（常用于谱分析）

综合滤波器组：具有共同输出的一组数字滤波器（常用于信号合成）



7.6.1 多率数字滤波器组：分析滤波器组



- 0 通道滤波器 $H_{M0}(z)$ 通带在 $-\pi/N$ 到 π/N 之间，是低通滤波器。
- 其他通道均为带通滤波器，且它们的频率响应与第0通道滤波器的频率响应之间的关系为：

$$H_{Mk}(e^{j\omega}) = H_{M0}\left[e^{j\left(\omega - \frac{2\pi}{N}k\right)}\right]$$

冲激响应之间的关系为：
$$h_{Mk}(n) = e^{j\frac{2\pi}{N}kn} h_{M0}(n) \quad k=1,2,\dots,N-1$$

7.6.1 多率数字滤波器组：分析滤波器组

0 通道滤波器的系统函数 $H_{M0}(z)$ 与其它 $N-1$ 个通道滤波器的系统函数之间的关系：

$$H_{Mk}(z) = H_{M0}(zW_N^k) \quad \text{其中:} \quad W_N = e^{-j\frac{2\pi}{N}} \quad \mathbf{k=0,1,2,\dots,N-1}$$

如果 $H_{M0}(z)$ 用多相结构实现，即：

$$H_{M0}(z) = \sum_{i=0}^{N-1} z^{-i} Q_i(z^N)$$

$$\text{则: } H_{Mk}(z) = \sum_{i=0}^{N-1} z^{-i} W_N^{-ki} Q_i(z^N W_N^{kN}) \quad \text{其中 } W_N^{kN} = 1$$

$$= \sum_{i=0}^{N-1} z^{-i} W_N^{-ki} Q_i(z^N) = \sum_{i=0}^{N-1} [z^{-i} Q_i(z^N)] W_N^{-ki}$$

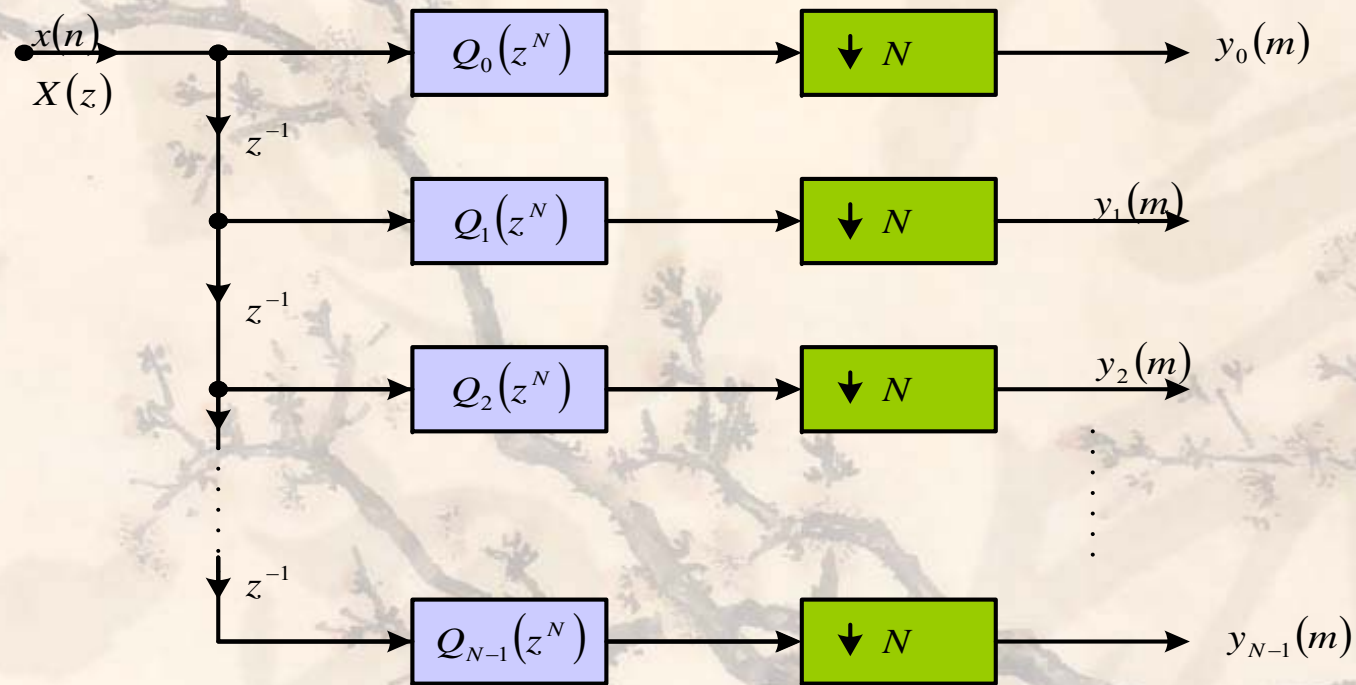
由于 $H_{Mk}(z) = G_k(z)/X(z)$ ，故：

$$G_k(z) = \sum_{i=0}^{N-1} [X(z) z^{-i} Q_i(z^N)] W_N^{-ki} \quad \mathbf{k=0,1,2,\dots,N-1}$$

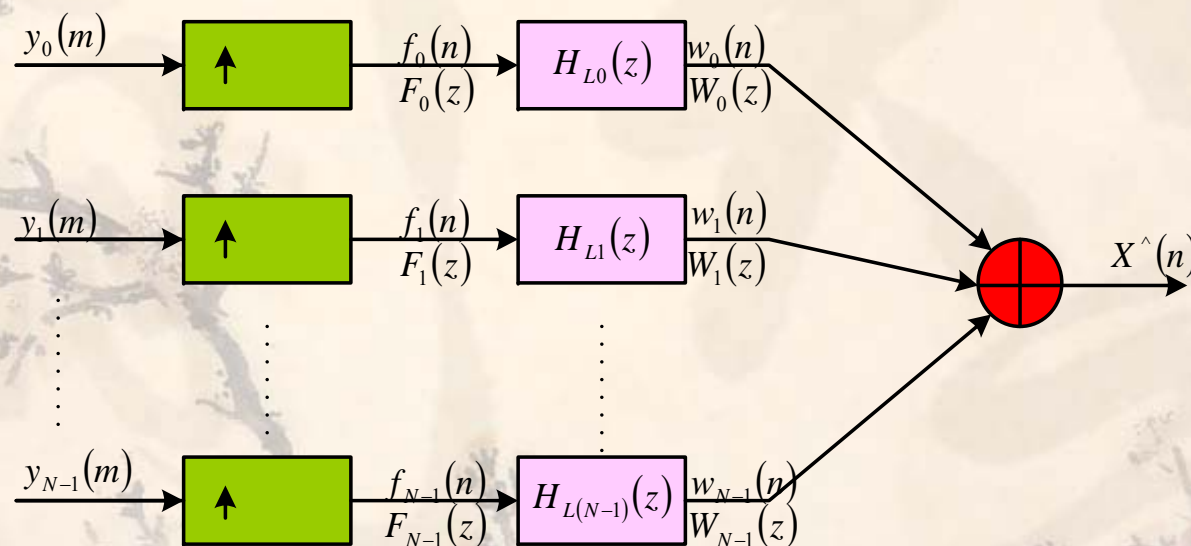
IDFT

7.6.1 多率数字滤波器组：分析滤波器组

均匀离散傅立叶变换分析滤波器组（可以采用 **IFFT** 快速算法）



7.6.2 多率数字滤波器组：综合滤波器组



- N 个子带信号分别输入 N 个通道，每个通道都进行因子为 N 的插零处理，使各路信号 $f_k(n), (k=0,1,\dots,N-1)$ 的频谱，在 $-\pi$ 到 π 的一个周期内含有原信号 $y_k(m), (k=0,1,\dots,N-1)$ 的一个变窄了的频谱及其 $N-1$ 个镜像频谱。
- 窄带滤波器 $H_{Lk}(z)$ 通带的中心频率为 $2\pi k/N$, $k=0,1,\dots,N-1$, 通带带宽都是 $2\pi/N$ 。

7.6.2 多率数字滤波器组：综合滤波器组

分析：滤波器 $H_{L0}(z)$ 的通带在 $-\pi/N$ 到 π/N 之间，是一个低通滤波器，而其它的 $N-1$ 个通道的滤波器都是带通滤波器，它们的频率响应与0通道滤波器的频率响应之间的关系为：

$$H_{Lk}(e^{j\omega}) = H_{L0}[e^{j(\omega - \frac{2\pi}{N}k)}] \quad k=1,2,\dots,N-1$$

冲激响应之间的关系为：

$$h_{Lk}(n) = e^{j\frac{2\pi}{N}kn} h_{L0}(n) \quad k=1,2,\dots,N-1$$

通道滤波器的系统函数之间的关系：

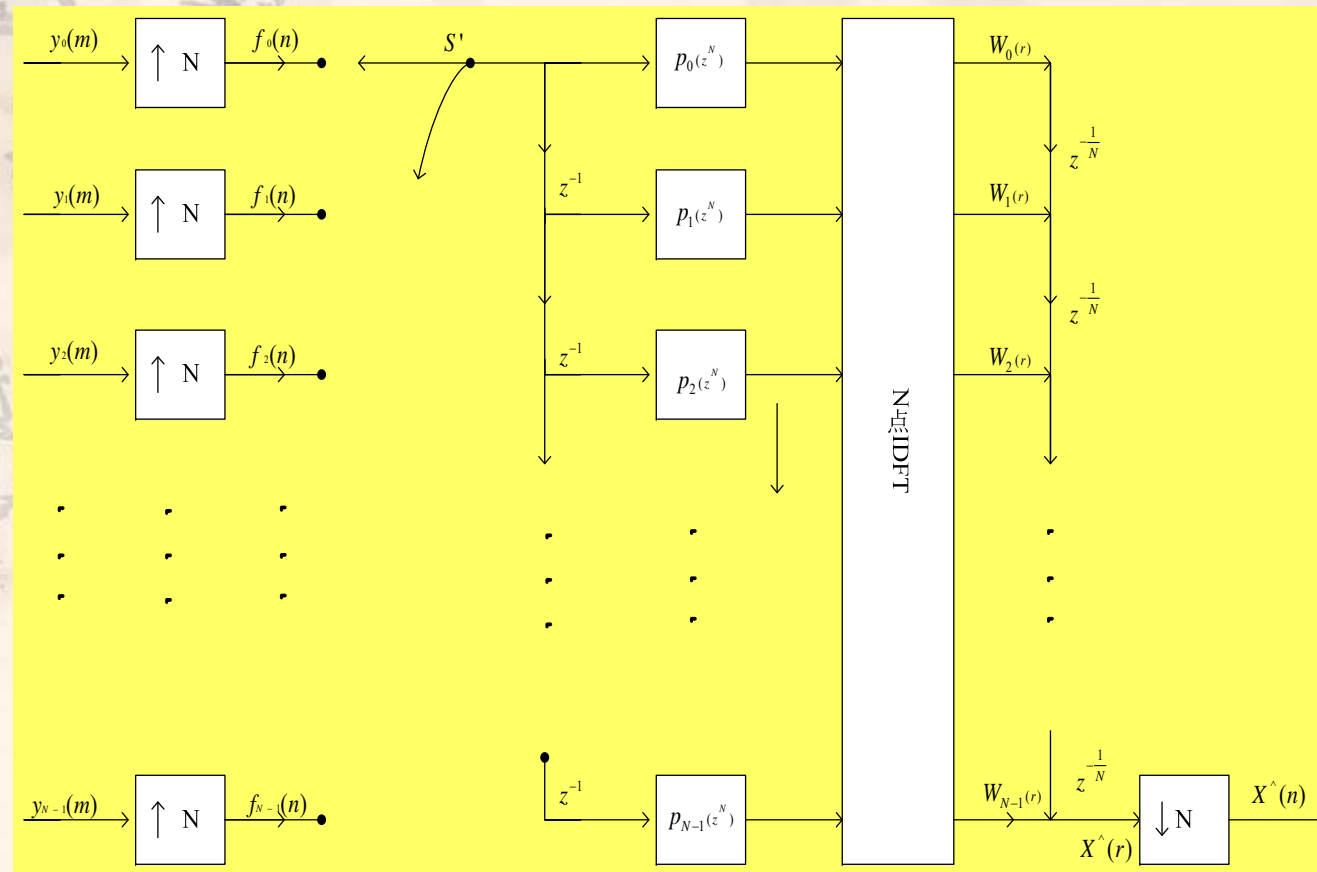
$$H_{Lk}(z) = H_{L0}(zW_N^k) \quad \text{其中} \quad W_N = e^{-j\frac{2\pi}{N}} \quad k=0,1,2,\dots,N-1$$

$$W_k(z) = F_k(z)H_{Lk}(z), \text{ 故有: } W_k(z) = \sum_{i=0}^{N-1} [F_k(z)z^{-i}P_i(z^N)]W_N^{-ki} \quad k=0,1,2,\dots,N-1$$

7.6.2 多率数字滤波器组：综合滤波器组

均匀离散傅立叶变换综合滤波器组：

信号 $f_k(n)$ 的抽样间隔为 T_x ，转换开关 S 转动的时间间隔是 $T=T_x/N$



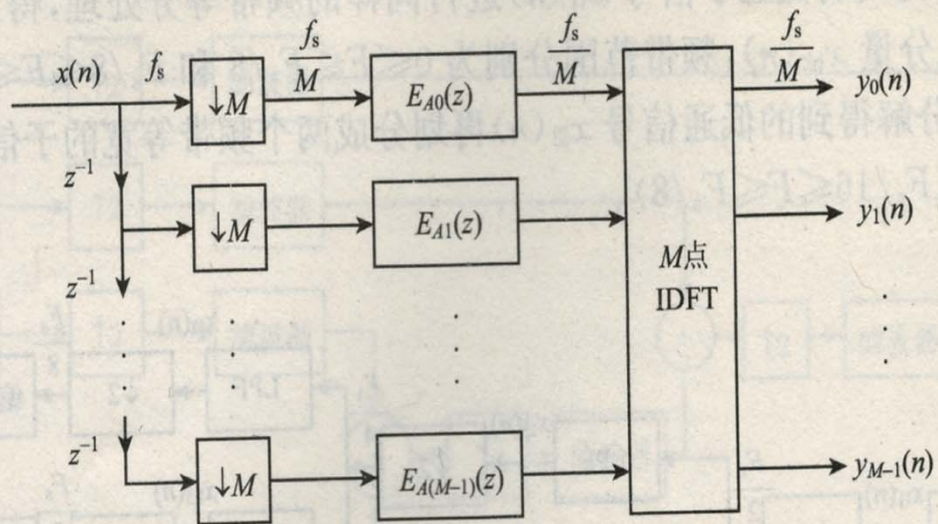


图 7.32 均匀 DFT 分析滤波器组的高效 FIR 多相结构

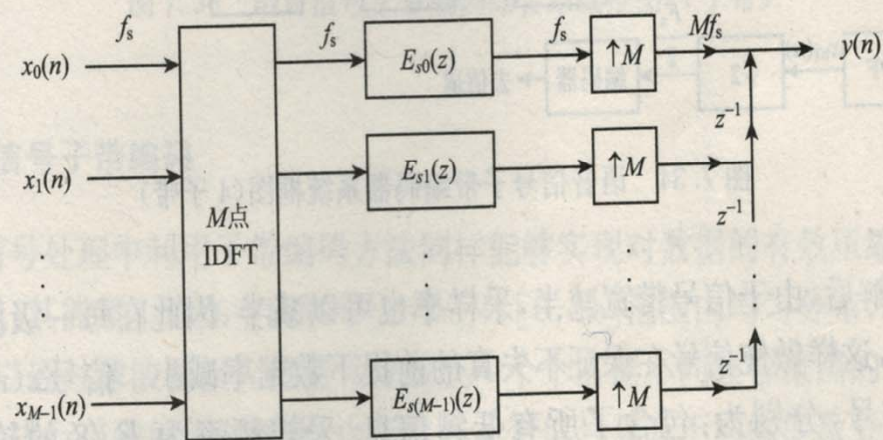


图 7.33 均匀 DFT 综合滤波器组的高效 FIR 多相结构

本章小结

- ❖ 掌握整数倍因子抽取实现以及频谱变换关系
- ❖ 掌握整数倍因子内插实现以及频谱变换关系
- ❖ 掌握有理因子转换抽样频率
- ❖ 多抽样率系统的高效实现